

## Sommaire

1. [Bases théoriques](#)
2. [Optimisation sans contraintes](#)
3. [Optimisation avec contraintes](#)
4. **Optimisation discrète**
  - 4.1 [Problème combinatoire](#)
  - 4.2 [Programmation linéaire](#)
  - 4.3 **Métaheuristiques**
    - 4.3.1 [Principes](#)
    - 4.3.2 [Recuit simulé](#)
    - 4.3.3 [Recherche tabou](#)
    - 4.3.4 [Essaims](#)
    - 4.3.5 [Fourmis](#)
    - 4.3.6 [Algorithme évolutionnaire](#)
    - 4.3.7 [Adaptation de covariance](#)
    - 4.3.8 [Affine shaker](#)
    - 4.3.9 [Reformulations](#)
5. [Optimisation fonctionnelle](#)

# Techniques d'optimisation

## 4.3.1 Métaheuristiques

### Problème d'optimisation difficile

$\min_x f(x)$  → problème d'optimisation (PO)

- On distingue 2 types de problèmes difficiles.
  - Problème **discret** → nombre exponentiel de combinaisons à explorer
  - Problème **continu** → minima locaux, aucune caractérisation du minimum global
- On ne peut pas trouver la solution exacte en un temps de calcul raisonnable.  
Il faut se satisfaire d'une **solution approchée** « suffisamment bonne ».
- Une métaheuristique est une méthode de résolution approchée mimant un processus physique.
  - Recuit simulé → thermodynamique
  - Algorithme évolutionnaire → sélection naturelle
  - Essaim particulaire → mouvement collectif d'essaims
  - Colonie de fourmis → mouvement organisé de fourmis
- Heuristique = méthode empirique spécialisée à un problème particulier  
**Métaheuristique** = principe général applicable à différents problèmes  
→ nécessite un travail d'adaptation pour chaque problème

## 4.3.1 Métaheuristiques

### Principales métaheuristiques

- Algorithmes

Algorithme	Acronyme	Type de problème	Extensions
Recuit simulé	SA	Discret (chemin)	Continu
Recherche tabou	TS	Discret (affectation)	
Essaims particuliers	PSO	Continu	Discret
Colonies de fourmis	ACO	Discret (chemin)	
Algorithme évolutionnaire	GA	Discret – Continu	
Adaptation de covariance	CMA	Continu	
Affine shaker	AS	Continu	Discret
Réseaux de neurones	NN	Identification	

- Applications

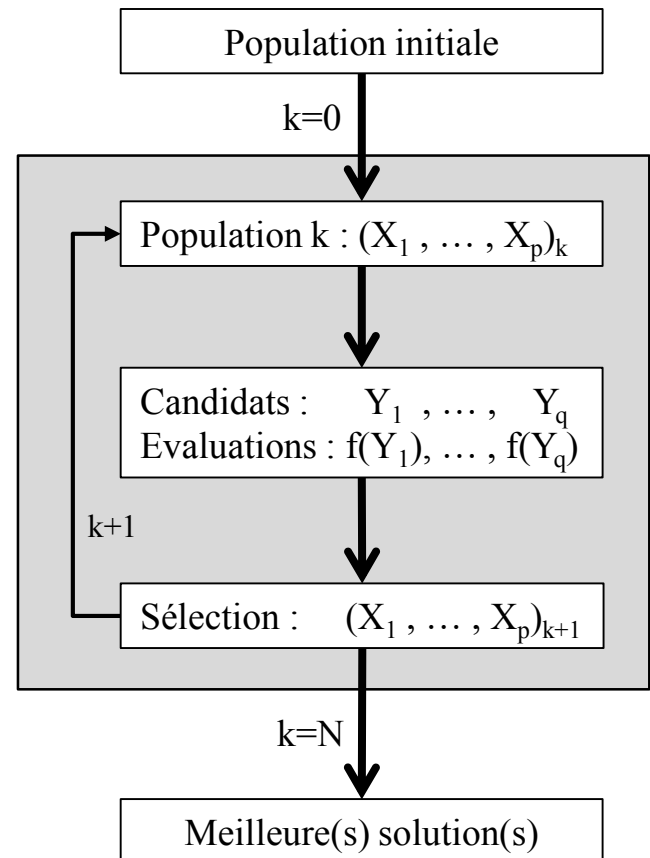
Optimisation **difficile** → minima locaux, minimum global  
 Optimisation **multi-objectifs** → front de Pareto  
 Identification de modèles → apprentissage + optimisation

## 4.3.1 Métaheuristiques

### Principes généraux

$\min_x f(x)$  → trouver le minimum global  
ou des minima locaux

- Population de  $p$  individus :  $X_i, f(X_i)$   
Ordre de grandeur :  $p = 1$  à  $100$  (selon algorithme)
- Exploration du voisinage :  $q$  candidats  $Y_j, f(Y_j)$   
Perturbations aléatoires  
→ **intensification** pour affiner les minima trouvés  
→ **diversification** pour trouver d'autres minima
- Règles de sélection  
Acceptation aléatoire de dégradations  
→ échappement de minima locaux
- Arrêt sur nombre d'essais  $N$   
→ généralement très grand



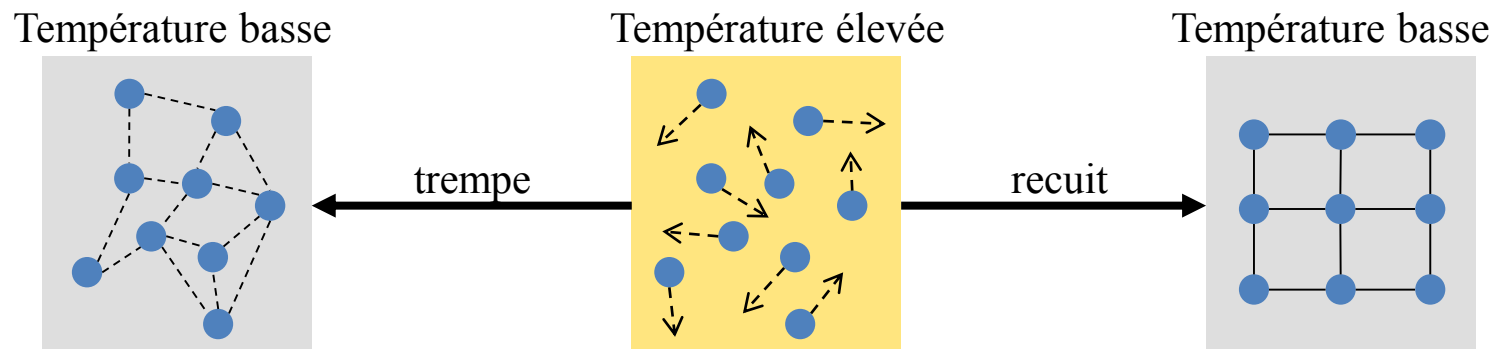
# Techniques d'optimisation

## 4.3.2 Recuit simulé

### Principe

La méthode du recuit simulé (« Simulated Annealing », Kirkpatrick et co 1983) s'inspire de la thermodynamique d'un système de particules.

- Le recuit est un processus utilisé en métallurgie pour obtenir un alliage sans défaut. A très haute température, le métal est à l'état liquide et les atomes se déplacent librement. On procède à un refroidissement pour revenir à l'état solide.
- Si le refroidissement est rapide (**trempe**), les atomes se figent dans un état désordonné. L'alliage obtenu a une structure irrégulière et présente des défauts (énergie élevée).
- Si le refroidissement est lent (**recuit**), les atomes se réorganisent de façon régulière. L'alliage obtenu a une structure cristalline sans défaut (énergie minimale).



# Techniques d'optimisation

## 4.3.2 Recuit simulé

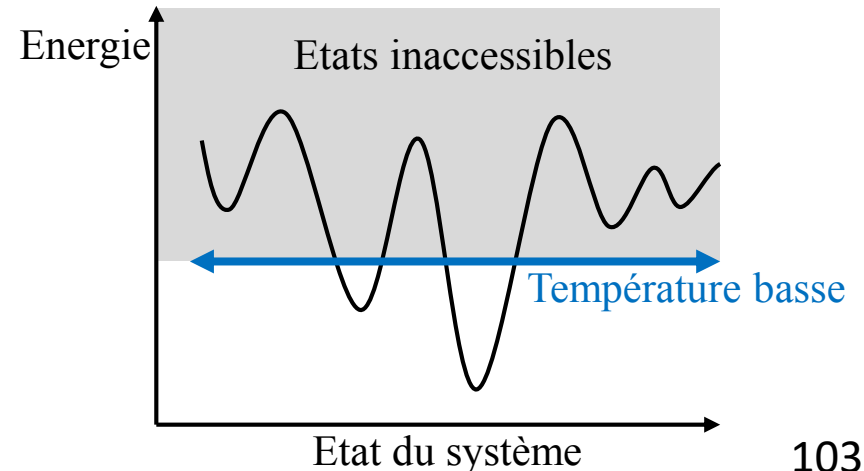
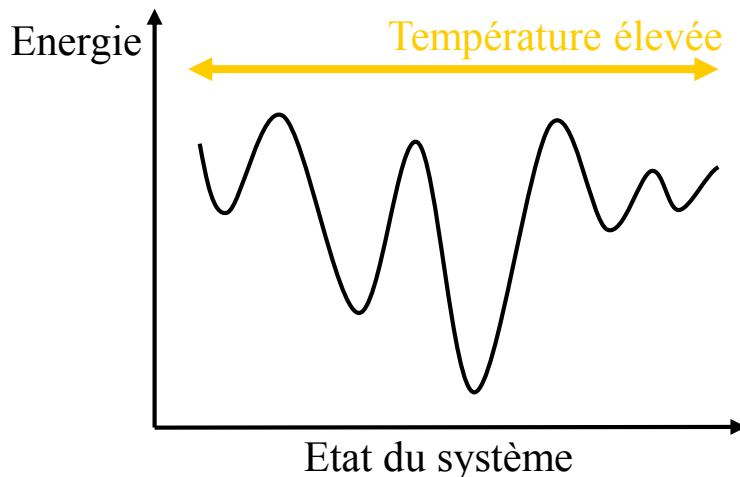
### Niveau d'énergie

- Le niveau d'énergie  $E$  du système dépend de la disposition des atomes.
- A la température  $T$ , la probabilité  $P_T(E)$  que l'énergie du système soit égale à  $E$  est

$$P_T(E) = \alpha e^{-\frac{E}{kT}} \rightarrow \text{loi de Gibbs (k = constante de Boltzmann)}$$

( $\alpha$  = constante de normalisation :  $\alpha = \int_E e^{-\frac{E}{kT}} dE$ )

- A température élevée, tous les états d'énergie ont quasiment la même probabilité.  
 A température basse, les états d'énergie élevée ont une probabilité quasiment nulle.



## 4.3.2 Recuit simulé

### Algorithme de Metropolis

L'algorithme de Metropolis (1953) simule l'évolution du système vers l'équilibre.

L'équilibre thermodynamique correspond à l'état d'énergie minimale  $\rightarrow \min_x E(x)$

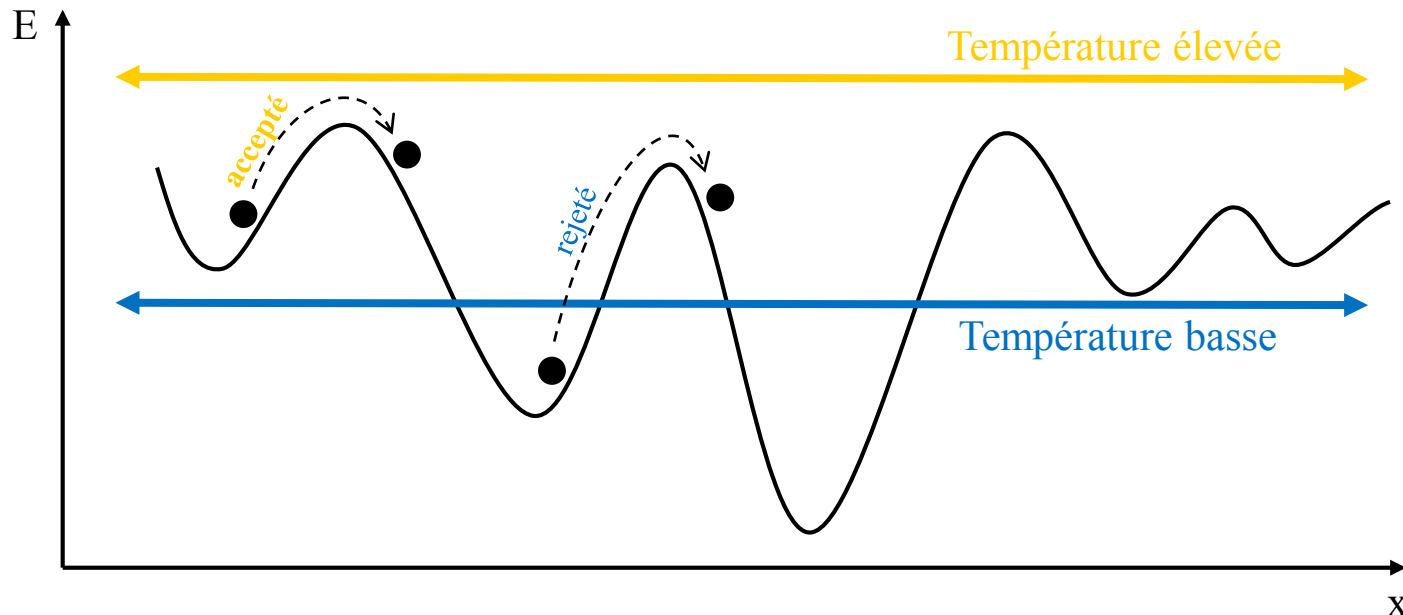
- On part d'un état initial du système noté  $x_0$  (= disposition des atomes) d'énergie  $E_0 = E(x_0)$ .
- On perturbe de façon aléatoire l'état du système :  
$$\begin{aligned} x_0 &\rightarrow x = x_0 + \delta x \\ E_0 &\rightarrow E = E_0 + \delta E \end{aligned}$$
- Le nouvel état  $x$  est accepté avec la probabilité 
$$\begin{cases} P = e^{-\frac{\delta E}{T}} & \text{si } \delta E \geq 0 & \text{(augmentation d'énergie)} \\ P = 1 & \text{si } \delta E < 0 & \text{(diminution d'énergie)} \end{cases}$$
- Le **paramètre de température T** règle le niveau d'acceptation des remontées d'énergie.
- A température élevée, un état d'énergie supérieure peut être accepté avec une probabilité forte.  
 $\rightarrow$  Le système peut explorer l'ensemble des états possibles.  
A température basse, un état d'énergie supérieure est rejeté de façon quasi-systématique.  
 $\rightarrow$  Le système se stabilise dans un état de basse énergie.

# Techniques d'optimisation

## 4.3.2 Recuit simulé

### Convergence

- L'acceptation de solutions moins bonnes permet d'explorer l'espace des solutions. Le système peut s'extraire d'un minimum local si le nombre d'essais est suffisant.
- La convergence vers un minimum global nécessite :
  - une température initiale élevée → pour autoriser l'accès à tous les états
  - une décroissance de température lente → pour échapper au minima locaux
  - un nombre d'essais élevé





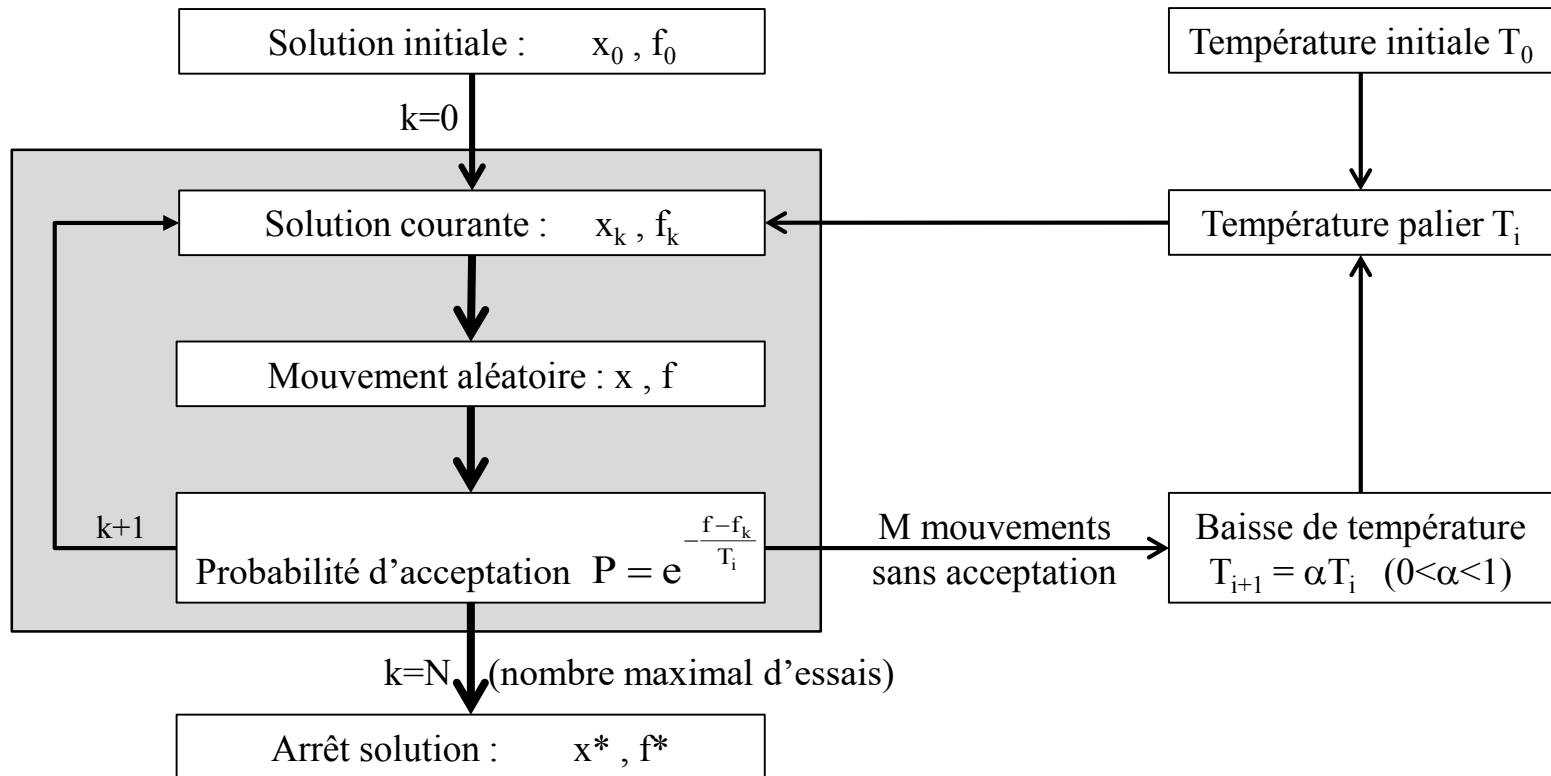
# Techniques d'optimisation

## 4.3.2 Recuit simulé

### Algorithme

On applique l'algorithme de Metropolis à un problème de minimisation.

$$\min_x f(x) \rightarrow \begin{cases} \text{variables } x = \text{« état du système »} \\ \text{fonction } f = \text{« énergie du système »} \end{cases}$$



# Techniques d'optimisation

## 4.3.2 Recuit simulé

### Réglages

- La **température initiale**  $T_0$  doit être élevée pour accepter quasiment tous les mouvements. On choisit par exemple  $T_0$  de façon à accepter 90% des mouvements aléatoires à partir de  $x_0$ .
- La **décroissance de température** doit être lente pour éviter le blocage dans un minimum local. On choisit par exemple une décroissance géométrique avec  $\alpha=0.999$  et  $M$  assez grand.
- L'algorithme s'arrête sur le nombre d'essais  $N$  ou sur un nombre de paliers sans amélioration. La qualité de la solution et le temps de calcul dépendent des réglages  $T_0$ ,  $\alpha$ ,  $M$ ,  $N$ .  
→ à adapter expérimentalement au cas par cas

### Mouvements aléatoires

- Les perturbations doivent générer une solution « localement proche » de la solution courante. Le choix des perturbations aléatoires dépend de la nature du problème (discret, continu).  
→ Il faut définir le « **voisinage** » de la solution courante.
- Application au PVC : les variables sont les numéros des nœuds le long du chemin. On définit 3 types de perturbations élémentaires : insertion, échange, permutation.  
→ Tirage aléatoire :
  - de la nature de la perturbation
  - des nœuds auxquels la perturbation est appliquée

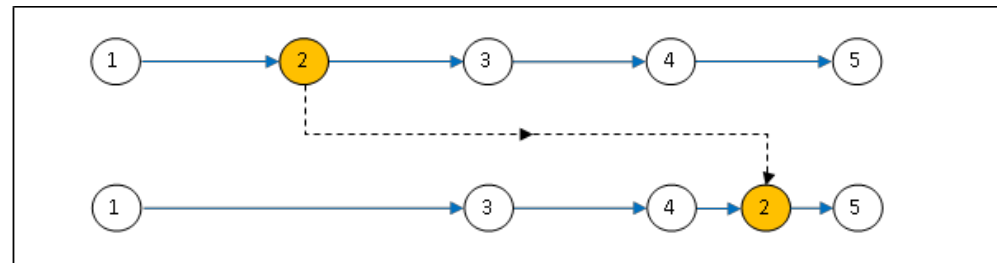
## 4.3.2 Recuit simulé

### Voyageur de commerce

Le voisinage d'une solution est défini par 3 mouvements élémentaires.

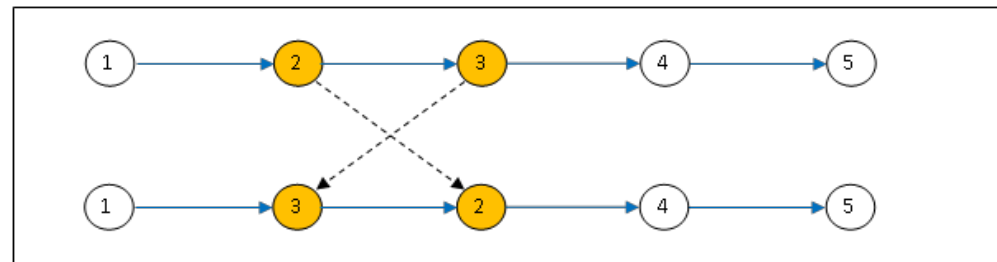
- **Insertion**

2 est inséré après 4.



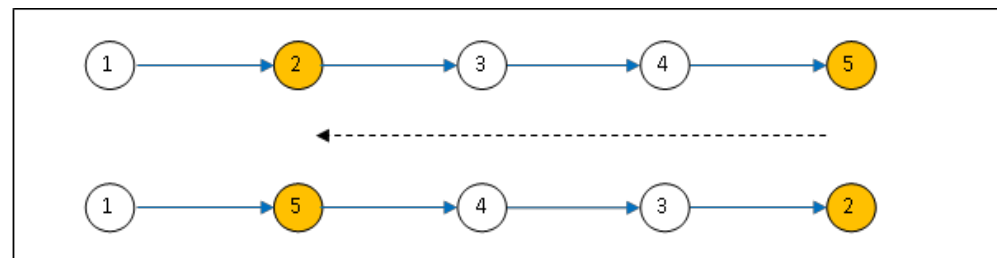
- **Echange**

2 et 3 sont échangés.



- **Permutation**

Le chemin de 2 à 5 est inversé.



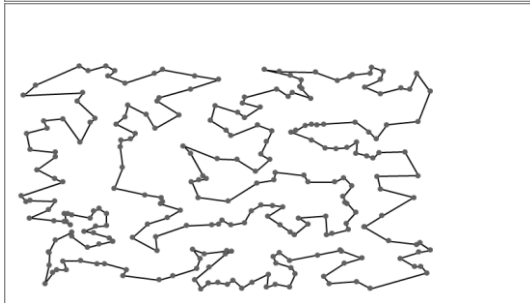
# Techniques d'optimisation

## 4.3.2 Recuit simulé

### Voyageur de commerce

#### Defi250

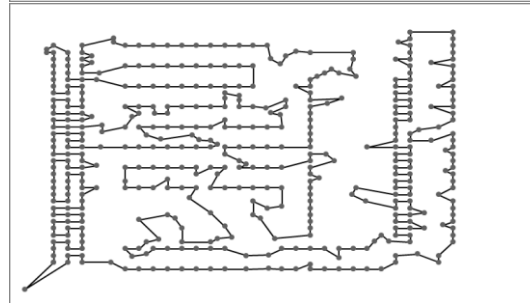
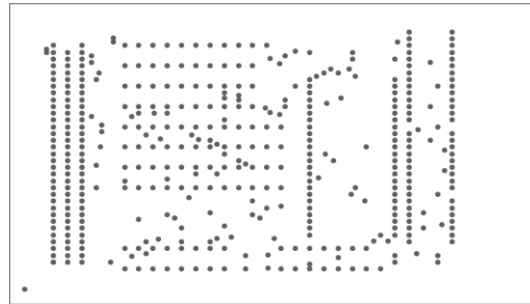
250 villes fictives



Coût = 11,809  
Essais :  $5 \cdot 10^8$   
Acceptés :  $1 \cdot 10^4$

#### Pcb442

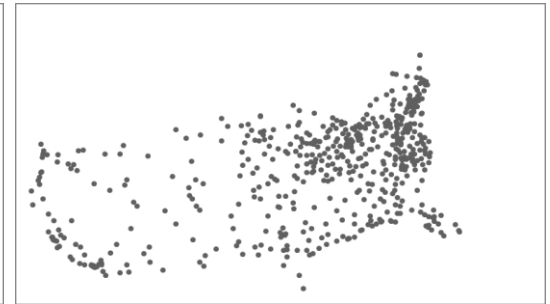
Circuit imprimé à 442 trous



Coût = 50778  
Essais :  $8 \cdot 10^8$   
Acceptés :  $2 \cdot 10^4$

#### Att532

532 villes des USA



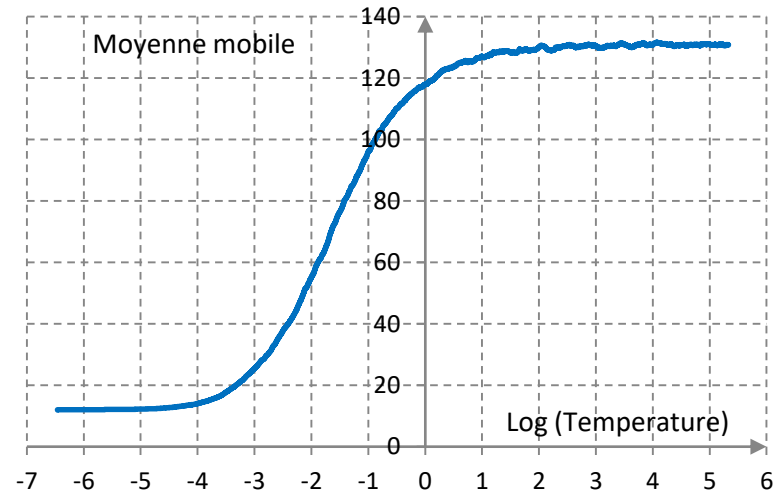
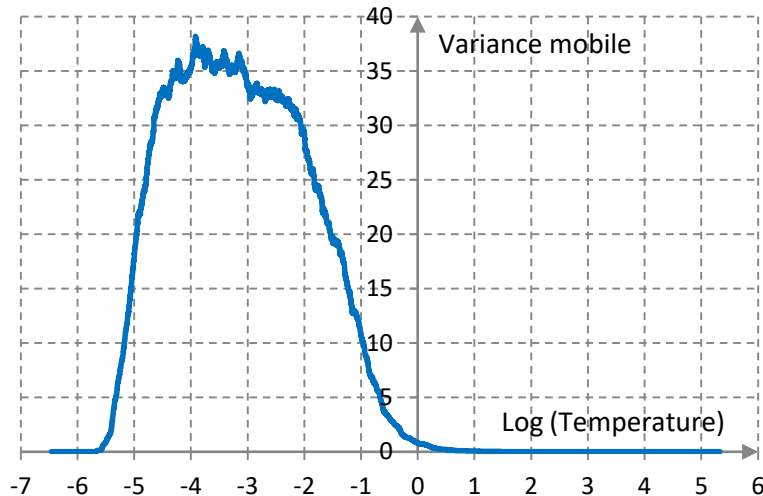
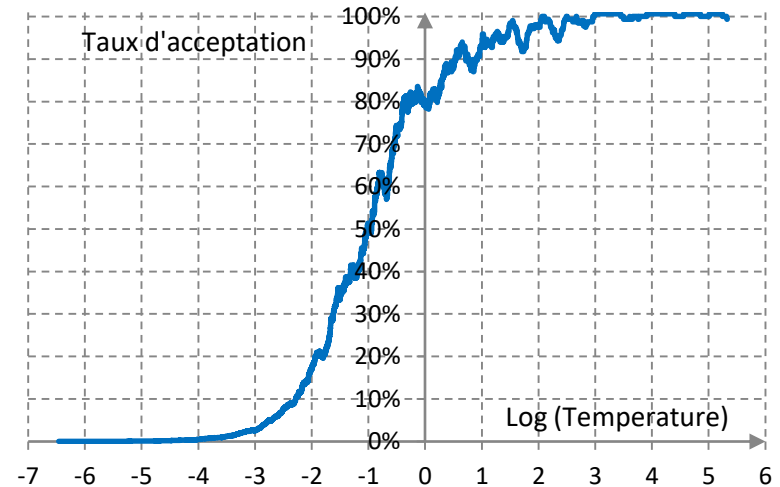
Coût = 27686  
Essais :  $2 \cdot 10^9$   
Acceptés :  $2 \cdot 10^4$

# Techniques d'optimisation

## 4.3.2 Recuit simulé

### Voyageur de commerce

- Indicateurs de convergence
  - taux d'acceptation
  - moyenne mobile (par palier de température)
  - variance mobile
- Température de stabilisation  
→ Variance maximale
- Exemple : problème Défi250



# Techniques d'optimisation

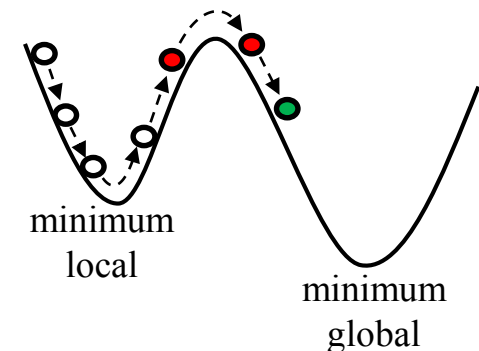
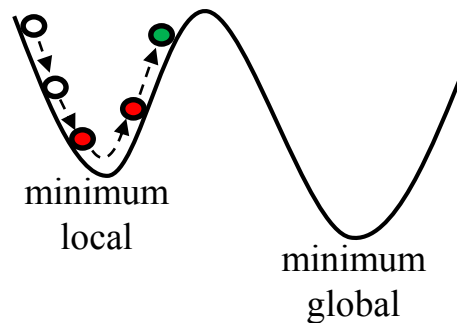
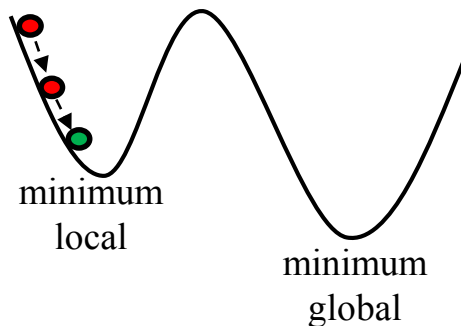
## 4.3.3 Recherche tabou

### Principe

La méthode de recherche avec tabou (« Tabu Search », Glover 1986) est une méthode locale avec une mémoire des solutions visitées.

- La liste tabou mémorise les  $p$  dernières solutions visitées (= liste des solutions « taboues ») ou les  $p$  derniers mouvements pour limiter l'encombrement en mémoire. La taille de la liste est généralement de l'ordre de  $p=10 \rightarrow$  mémoire à court terme
- On cherche une amélioration dans un voisinage (à définir) de la solution courante **en excluant les solutions précédentes** pour forcer la sortie d'un minimum local.

Solution courante (itération  $k$ ) :  $X_k$   
 Solution précédentes (itérations  $k-p$  à  $k-1$ ) :  $X_{k-p}, \dots, X_{k-2}, X_{k-1}$

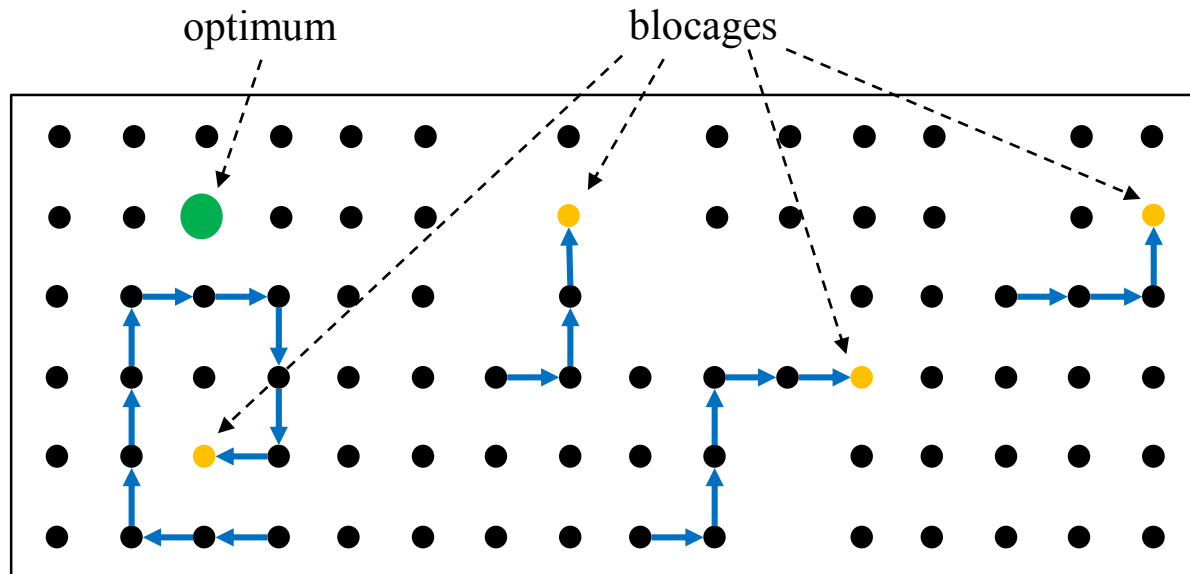


# Techniques d'optimisation

## 4.3.3 Recherche tabou

### Liste tabou

- La liste tabou interdit temporairement le retour à des solutions visitées.
- La **taille** de la liste tabou et la **durée** des interdictions sont à définir.  
Une liste trop grande peut déconnecter la solution courante de la solution optimale.



La solution optimale (en vert) ne peut plus être atteinte à partir des points en orange si les interdictions ne sont pas levées → blocage de la recherche.

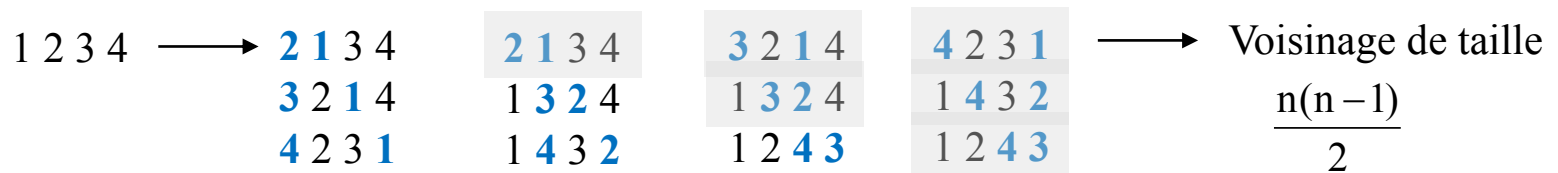
# Techniques d'optimisation

## 4.3.3 Recherche tabou

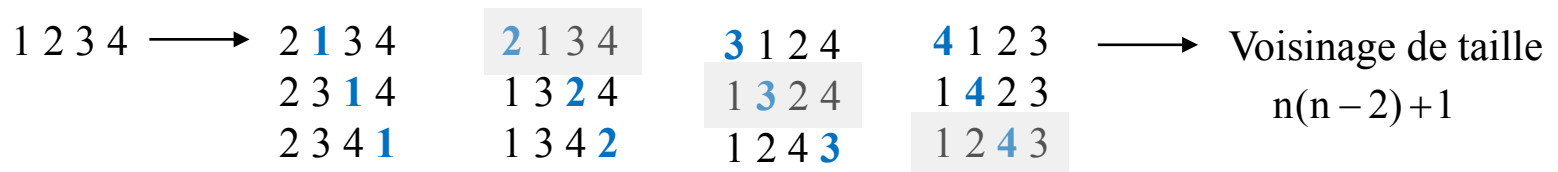
### Voisinage

- Le voisinage  $V_k$  de la solution courante  $x_k$  est l'ensemble des solutions accessibles à partir de  $x_k$  par des modifications (ou mouvements) élémentaires. La définition du voisinage est à adapter selon le problème.
- De nombreux problèmes se ramènent à la recherche d'une **permutation optimale**. Pour ce type de problème, on peut définir le voisinage par 2 mouvements élémentaires.

- Echange**



- Insertion**



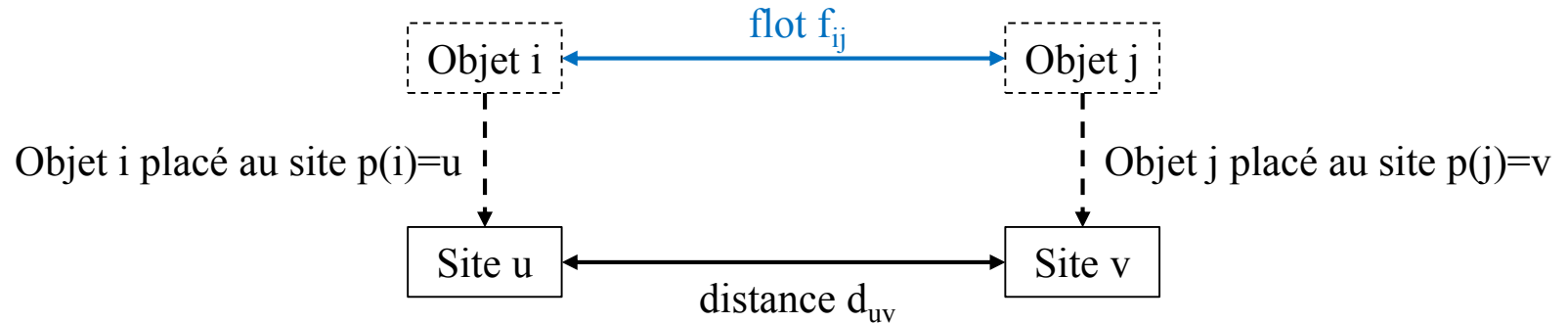


# Techniques d'optimisation

## 4.3.3 Recherche tabou

### Affectation quadratique

Le problème d'affectation quadratique (« Quadratic Assignment Problem » ou QAP) consiste à affecter  $n$  objets sur  $n$  sites.



- Le flot entre les objets  $i$  et  $j$  est :  $f_{ij} \rightarrow$  matrice  $F$  des flots
- La distance entre les sites  $u$  et  $v$  est :  $d_{uv} \rightarrow$  matrice  $D$  des distances
- Le coût est le produit flot  $\times$  distance :  $f_{ij}d_{uv} =$  coût du flot entre l'objet  $i$  placé au site  $u$  et l'objet  $j$  placé au site  $v$

- Une solution est représentée par une **permutation  $P$**  donnant les affectations des  $n$  objets.  
 $P = ( p(1) , \dots , p(i) , \dots , p(j) , \dots , p(n) )$  avec  $p(i) =$  numéro du site où est placé l'objet  $i$

- On cherche la permutation  $P$  minimisant le coût total :  $C_P = \sum_{i,j=1 \text{ à } n} f_{ij}d_{p(i)p(j)}$

# Techniques d'optimisation

## 4.3.3 Recherche tabou

### Affectation quadratique

- Le voisinage de la solution courante consiste à échanger les positions de 2 objets.  
 Solution courante :  $P = ( p(1) , \dots , p(u) , \dots , p(v) , \dots , p(n) )$   
 Solution voisine :  $P' = ( p(1) , \dots , p(v) , \dots , p(u) , \dots , p(n) )$   
 obtenue en échangeant les positions des objets u et v  $\rightarrow$  taille  $\approx n^2$

- La variation de coût associée à l'échange des objets en u et en v est :

$$\begin{aligned} \Delta C_P = & \sum_{j=1 \text{ à } n, j \neq u} (f_{uj} d_{p(v)p(j)} - f_{uj} d_{p(u)p(j)}) \rightarrow \text{arcs partant de u : départ de p(v) au lieu de p(u)} \\ & + \sum_{j=1 \text{ à } n, j \neq v} (f_{vj} d_{p(u)p(j)} - f_{vj} d_{p(v)p(j)}) \rightarrow \text{arcs partant de v : départ de p(u) au lieu de p(v)} \\ & + \sum_{i=1 \text{ à } n, i \neq u} (f_{iu} d_{p(i)p(v)} - f_{iu} d_{p(i)p(u)}) \rightarrow \text{arcs arrivant en u : arrivée en p(v) au lieu de p(u)} \\ & + \sum_{i=1 \text{ à } n, i \neq v} (f_{iv} d_{p(i)p(u)} - f_{iv} d_{p(i)p(v)}) \rightarrow \text{arcs arrivant en v : arrivée en p(u) au lieu de p(v)} \end{aligned}$$

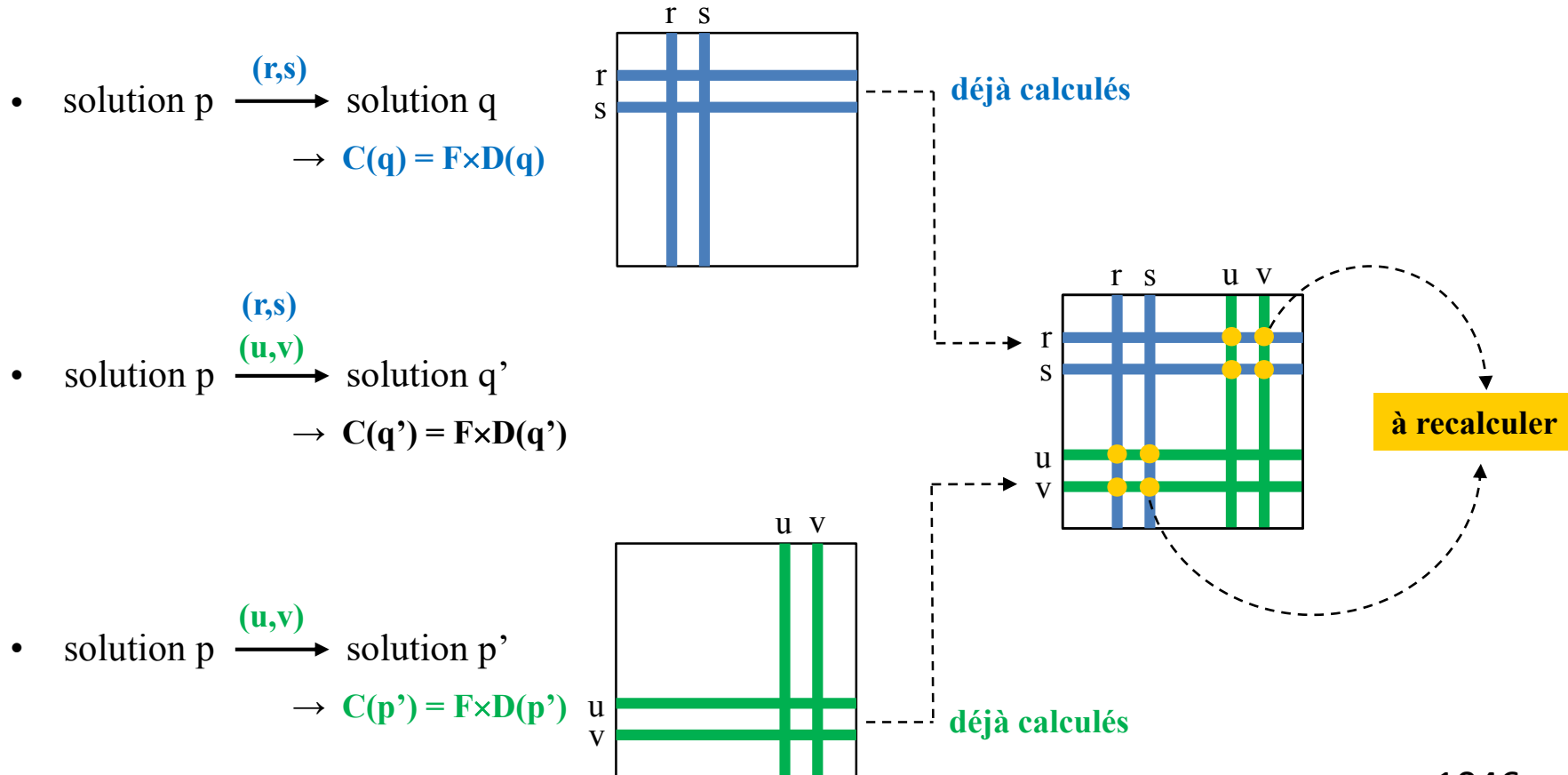
- La liste tabou contient les solutions précédentes  $P_k$  avec leur durée d'interdiction  $t_k$ .  
 La durée  $t_k$  est le nombre d'itérations pendant lesquelles la solution  $P_k$  est taboue.  
 La durée peut être fixée ou tirée aléatoirement pour chaque solution.

# Techniques d'optimisation

## 4.3.3 Recherche tabou

### Affectation quadratique

L'évaluation d'une solution est la partie la plus coûteuse en temps de calcul.  
 On peut réduire le temps de calcul en évaluant les variations entre 2 solutions voisines.



## 4.3.3 Recherche tabou

### Exemple

Problème d'affectation quadratique NUG5

$$F = \begin{matrix} & \begin{matrix} 1 & 2 & 3 & 4 & 5 \end{matrix} \\ \begin{matrix} 1 \\ 2 \\ 3 \\ 4 \\ 5 \end{matrix} & \begin{pmatrix} 0 & 5 & 2 & 4 & 1 \\ 5 & 0 & 3 & 0 & 2 \\ 2 & 3 & 0 & 0 & 0 \\ 4 & 0 & 0 & 0 & 5 \\ 1 & 2 & 0 & 5 & 0 \end{pmatrix} \end{matrix}$$

$$D = \begin{matrix} & \begin{matrix} 1 & 2 & 3 & 4 & 5 \end{matrix} \\ \begin{matrix} 1 \\ 2 \\ 3 \\ 4 \\ 5 \end{matrix} & \begin{pmatrix} 0 & 1 & 1 & 2 & 3 \\ 1 & 0 & 2 & 1 & 2 \\ 1 & 2 & 0 & 1 & 2 \\ 2 & 1 & 1 & 0 & 1 \\ 3 & 2 & 2 & 1 & 0 \end{pmatrix} \end{matrix}$$

On cherche la permutation des objets (1, 2, 3, 4, 5) minimisant le coût  $C = F \times D(p)$ .

- Le nombre total de permutations est :  $5! = 120$
- Il existe 2 permutations optimales :
 

$(2, 4, 5, 1, 3)$	$\rightarrow$	$C = 50$
$(3, 4, 5, 1, 2)$	$\rightarrow$	$C = 50$

# Techniques d'optimisation

## 4.3.3 Recherche tabou

### Exemple : itération 0

On initialise la méthode tabou avec la solution :  $p_0 = (5, 4, 3, 2, 1)$  de coût  $C_0 = 64$ .

- Le voisinage est défini comme l'ensemble des solutions accessibles en échangeant 2 objets. Tous les mouvements sont autorisés.

Solution		Mouvement									
		1-2	1-3	1-4	1-5	2-3	2-4	2-5	3-4	3-5	4-5
(5,4,3,2,1)		(4,5,3,2,1)	(3,4,5,2,1)	(2,4,3,5,1)	(1,4,3,2,5)	(5,3,4,2,1)	(5,2,3,4,1)	(5,1,3,2,4)	(5,4,2,3,1)	(5,4,1,2,3)	(5,4,3,1,2)
64	Coût	60	60	80	68	66	78	80	64	78	66
	Variation	-4	-4	16	4	2	14	16	0	14	2

- La meilleure solution dans le voisinage est :  $p_1 = (4, 5, 3, 2, 1)$  de coût  $C_1 = 60$ .  
 → amélioration  $\Delta C = -4$
- La solution  $p_0$  entre dans la liste tabou pendant un nombre d'itérations  $t_0 = 3$ .

Liste tabou :  $T_1$

Solutions taboues	Durée d'interdiction
$p_0 = (5, 4, 3, 2, 1)$	$t_0 = 3$

## 4.3.3 Recherche tabou

### Exemple : itération 1

On cherche une amélioration locale de la solution :  $p_1 = (4, 5, 3, 2, 1)$  de coût  $C_1 = 60$ .

- Le voisinage est défini comme l'ensemble des solutions accessibles en échangeant 2 objets. Le mouvement (1-2) n'est pas autorisé, car il redonnerait  $p_0$ .

Solution		Mouvement									
		1-2	1-3	1-4	1-5	2-3	2-4	2-5	3-4	3-5	4-5
(4,5,3,2,1)		(5,4,3,2,1)	(3,5,4,2,1)	(2,5,3,4,1)	(1,5,3,2,4)	(4,3,5,2,1)	(4,2,3,5,1)	(4,1,3,2,5)	(4,5,2,3,1)	(4,5,1,2,3)	(4,5,3,1,2)
60	Coût	64	70	82	72	52	72	72	60	74	62
	Variation	4	10	22	12	-8	12	12	0	14	2

- La meilleure solution dans le voisinage est :  $p_2 = (4, 3, 5, 2, 1)$  de coût  $C_2 = 52$ .  
 → amélioration  $\Delta C = -8$
- La solution  $p_1$  entre dans la liste tabou pendant un nombre d'itération  $t_1 = 3$ .

Liste tabou :  $T_2$

Solutions taboues	Durée d'interdiction
$p_0 = (5, 4, 3, 2, 1)$	$t_0 = 2$
$p_1 = (4, 5, 3, 2, 1)$	$t_1 = 3$

# Techniques d'optimisation

## 4.3.3 Recherche tabou

### Exemple : itération 2

On cherche une amélioration locale de la solution :  $p_2 = (4, 3, 5, 2, 1)$  de coût  $C_2 = 52$ .

- Le voisinage est défini comme l'ensemble des solutions accessibles en échangeant 2 objets. Le mouvement (2-3) n'est pas autorisé, car il redonnerait  $p_1$ .

Solution		Mouvement									
		1-2	1-3	1-4	1-5	2-3	2-4	2-5	3-4	3-5	4-5
(4,3,5,2,1)		(3,4,5,2,1)	(5,3,4,2,1)	(2,3,5,4,1)	(1,3,5,2,4)	(4,5,3,2,1)	(4,2,5,3,1)	(4,1,5,2,3)	(4,3,2,5,1)	(4,3,1,2,5)	(4,3,5,1,2)
52	Coût	60	66	74	60	60	52	76	72	62	62
	Variation	8	14	22	8	8	0	24	20	10	10

- La meilleure solution dans le voisinage est :  $p_3 = (4, 2, 5, 3, 1)$  de coût  $C_3 = 52$ .  
 → coût identique  $\Delta C = 0$
- La solution  $p_2$  entre dans la liste tabou pendant un nombre d'itération  $t_2 = 3$ .

Liste tabou :  $T_3$

Solutions taboues	Durée d'interdiction
$p_0 = (5, 4, 3, 2, 1)$	$t_0 = 1$
$p_1 = (4, 5, 3, 2, 1)$	$t_1 = 2$
$p_2 = (4, 3, 5, 2, 1)$	$t_2 = 3$

# Techniques d'optimisation

## 4.3.3 Recherche tabou

### Exemple : itération 3

On cherche une amélioration locale de la solution :  $p_3 = (4, 2, 5, 3, 1)$  de coût  $C_3 = 52$ .

- Le voisinage est défini comme l'ensemble des solutions accessibles en échangeant 2 objets. Le mouvement (2-4) n'est pas autorisé, car il redonnerait  $p_2$ .

Solution		Mouvement									
		1-2	1-3	1-4	1-5	2-3	2-4	2-5	3-4	3-5	4-5
(4,2,5,3,1)		(2,4,5,3,1)	(5,2,4,3,1)	(3,2,5,4,1)	(1,2,5,3,4)	(4,5,2,3,1)	(4,3,5,2,1)	(4,1,5,3,2)	(4,2,3,5,1)	(4,2,1,3,5)	(4,2,5,1,3)
52	Coût	60	66	74	60	60	52	76	72	62	62
	Variation	8	14	22	8	8	0	24	20	10	10

- La meilleure solution dans le voisinage est :  $p_4 = (2, 4, 5, 3, 1)$  de coût  $C_4 = 60$ .  
 → dégradation  $\Delta C = +8$
- La solution  $p_3$  entre dans la liste tabou pendant un nombre d'itération  $t_3 = 3$ .

Liste tabou :  $T_4$

Solutions taboues	Durée d'interdiction
$p_1 = (4, 5, 3, 2, 1)$	$t_1 = 1$
$p_2 = (4, 3, 5, 2, 1)$	$t_2 = 2$
$p_3 = (4, 2, 5, 3, 1)$	$t_3 = 3$

→  $p_0$  sort de la liste.  
 $p_0$  est à nouveau autorisée.



# Techniques d'optimisation

## 4.3.3 Recherche tabou

### Exemple : itération 4

On cherche une amélioration locale de la solution :  $p_4 = (2, 4, 5, 3, 1)$  de coût  $C_4 = 60$ .

- Le voisinage est défini comme l'ensemble des solutions accessibles en échangeant 2 objets. Le mouvement (1-2) n'est pas autorisé, car il redonnerait  $p_3$ .

Solution	Mouvement									
	1-2	1-3	1-4	1-5	2-3	2-4	2-5	3-4	3-5	4-5
(2,4,5,3,1)	(4,2,5,3,1)	(5,4,2,3,1)	(3,4,5,2,1)	(1,4,5,3,2)	(2,5,4,3,1)	(2,3,5,4,1)	(2,1,5,3,4)	(2,4,3,5,1)	(2,4,1,3,5)	(2,4,5,1,3)
60	52	64	60	72	70	74	72	80	70	50
Variation	-8	4	0	12	10	14	12	20	10	-10

- La meilleure solution dans le voisinage est :  $p_5 = (2, 4, 5, 1, 3)$  de coût  $C_5 = 50$ .  
 → amélioration  $\Delta C = -10$
- La solution  $p_4$  entre dans la liste tabou pendant un nombre d'itération  $t_4 = 3$ .

Liste tabou :  $T_5$

Solutions taboues	Durée d'interdiction
$p_2 = (4, 3, 5, 2, 1)$	$t_2 = 1$
$p_3 = (4, 2, 5, 3, 1)$	$t_3 = 2$
$p_4 = (2, 4, 5, 3, 1)$	$t_4 = 3$

→  $p_1$  sort de la liste.  
 $p_1$  est à nouveau autorisée.

# Techniques d'optimisation

## 4.3.3 Recherche tabou

### Exemple : itération 5

On cherche une amélioration locale de la solution :  $p_5 = (2, 4, 5, 1, 3)$  de coût  $C_5 = 50$ .

- Le voisinage est défini comme l'ensemble des solutions accessibles en échangeant 2 objets. Le mouvement (4-5) n'est pas autorisé, car il redonnerait  $p_4$ .

Solution		Mouvement									
		1-2	1-3	1-4	1-5	2-3	2-4	2-5	3-4	3-5	4-5
(2,4,5,1,3)		(4,2,5,1,3)	(5,4,2,1,3)	(1,4,5,2,3)	(3,4,5,1,2)	(2,5,4,1,3)	(2,1,5,4,3)	(2,3,5,1,4)	(2,4,1,5,3)	(2,4,3,1,5)	(2,4,5,3,1)
50	Coût	62	66	72	50	60	62	74	70	70	60
	Variation	12	16	22	0	10	12	24	20	20	10

- La meilleure solution dans le voisinage est :  $p_6 = (3, 4, 5, 1, 2)$  de coût  $C_5 = 50$ .  
 → coût identique  $\Delta C = 0$

On obtient les **2 permutations optimales** :  $p_5 = (2, 4, 5, 1, 3)$  de coût  $C = 50$ .  
 $p_6 = (3, 4, 5, 1, 2)$

Les itérations suivantes ne donnent plus d'améliorations.

- La liste tabou a produit une dégradation à l'itération 3 :  $\Delta C = +8$ . Ceci a permis de **sortir d'un minimum local** :  $p_3 = (4, 2, 5, 3, 1)$  de coût  $C_3 = 52$  puis d'obtenir à l'itération suivante la solution optimale de coût  $C = 50$ .

# Techniques d'optimisation

## 4.3.3 Recherche tabou

### Exemple

- Problème NUG5 : récapitulatif des itérations

Itération	Solution		Mouvement									
			1-2	1-3	1-4	1-5	2-3	2-4	2-5	3-4	3-5	4-5
0	(5,4,3,2,1) 64	Coût	(4,5,3,2,1) 60	(3,4,5,2,1) 60	(2,4,3,5,1) 80	(1,4,3,2,5) 68	(5,3,4,2,1) 66	(5,2,3,4,1) 78	(5,1,3,2,4) 80	(5,4,2,3,1) 64	(5,4,1,2,3) 78	(5,4,3,1,2) 66
		Variation	-4	-4	16	4	2	14	16	0	14	2
1	(4,5,3,2,1) 60	Coût	(5,4,3,2,1) 64	(3,5,4,2,1) 70	(2,5,3,4,1) 82	(1,5,3,2,4) 72	(4,3,5,2,1) 52	(4,2,3,5,1) 72	(4,1,3,2,5) 72	(4,5,2,3,1) 60	(4,5,1,2,3) 74	(4,5,3,1,2) 62
		Variation	4	10	22	12	-8	12	12	0	14	2
2	(4,3,5,2,1) 52	Coût	(3,4,5,2,1) 60	(5,3,4,2,1) 66	(2,3,5,4,1) 74	(1,3,5,2,4) 60	(4,5,3,2,1) 60	(4,2,5,3,1) 52	(4,1,5,2,3) 76	(4,3,2,5,1) 72	(4,3,1,2,5) 62	(4,3,5,1,2) 62
		Variation	8	14	22	8	8	0	24	20	10	10
3	(4,2,5,3,1) 52	Coût	(2,4,5,3,1) 60	(5,2,4,3,1) 66	(3,2,5,4,1) 74	(1,2,5,3,4) 60	(4,5,2,3,1) 60	(4,3,5,2,1) 52	(4,1,5,3,2) 76	(4,2,3,5,1) 72	(4,2,1,3,5) 62	(4,2,5,1,3) 62
		Variation	8	14	22	8	8	0	24	20	10	10
4	(2,4,5,3,1) 60	Coût	(4,2,5,3,1) 52	(5,4,2,3,1) 64	(3,4,5,2,1) 60	(1,4,5,3,2) 72	(2,5,4,3,1) 70	(2,3,5,4,1) 74	(2,1,5,3,4) 72	(2,4,3,5,1) 80	(2,4,1,3,5) 70	(2,4,5,1,3) 50
		Variation	-8	4	0	12	10	14	12	20	10	-10
5	(2,4,5,1,3) 50	Coût	(4,2,5,1,3) 62	(5,4,2,1,3) 66	(1,4,5,2,3) 72	(3,4,5,1,2) 50	(2,5,4,1,3) 60	(2,1,5,4,3) 62	(2,3,5,1,4) 74	(2,4,1,5,3) 70	(2,4,3,1,5) 70	(2,4,5,3,1) 60
		Variation	12	16	22	0	10	12	24	20	20	10

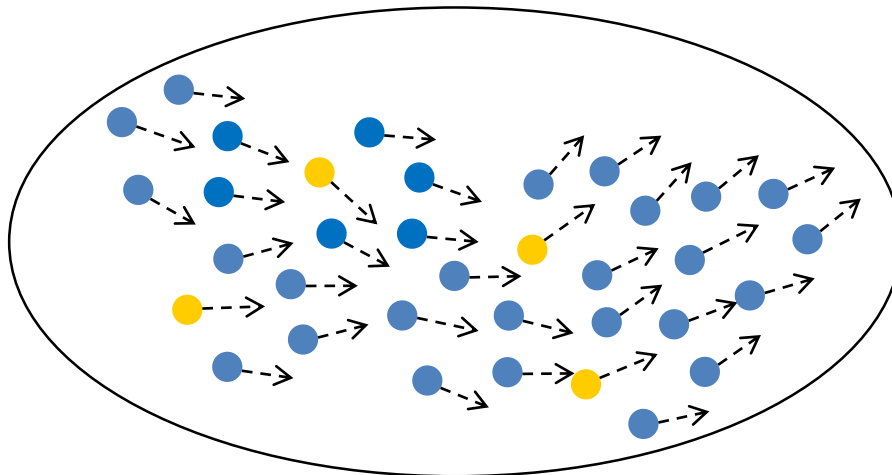
# Techniques d'optimisation

## 4.3.4 Essaims

### Principe

La méthode des essaims particulaires (« Particle Swarm », Eberhart et Kennedy 1995) s'inspire du comportement social des animaux (nuée d'oiseaux, banc de poissons, essaim d'abeilles).

- Un essaim est composé d'individus ou **particules** en mouvement.
- Le mouvement de chaque particule est influencé par :
  - sa vitesse actuelle → tendance « aventureuse »
  - son expérience personnelle → tendance « conservatrice » à revenir à sa meilleure position
  - l'expérience sociale → tendance « panurgienne » à suivre un groupe de voisins



● groupe de particules en relation



voisinage social  
≠ voisinage géographique

# Techniques d'optimisation

## 4.3.4 Essaims

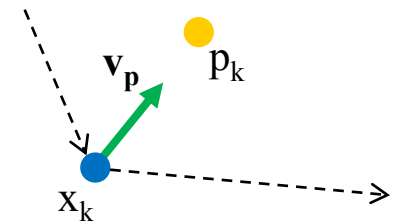
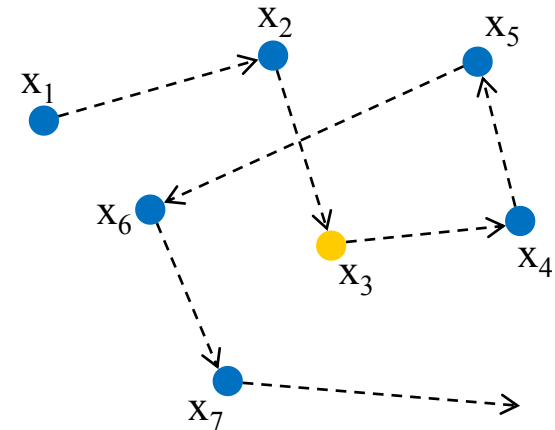
### Mouvement individuel

- Chaque particule est repérée par sa position  $x$  et sa vitesse  $v$ .  
 La particule se déplace au cours du temps.  
 $x_k$  = position de la particule à la date  $t_k$   
 $v_k$  = vitesse de la particule à la date  $t_k$
- La meilleure position rencontrée est gardée en mémoire.  
 $p_k$  = **meilleure position** connue de la particule à la date  $t_k$   
 (« p » = **personnelle**)

Date	$t_1$	$t_2$	$t_3$	$t_4$	...	$t_k$
Position	$x_1$	$x_2$	$x_3$	$x_4$	...	$x_k$

$p_k = x_3 =$  meilleure position connue à  $t_k$

- La particule est attirée vers sa meilleure position.  
 La vitesse est déviée par une composante  $v_p$  orientée vers  $p_k$ .  
 $v_k \rightarrow v_k + v_p$  avec  $v_p = c_p \cdot (p_k - x_k)$ .

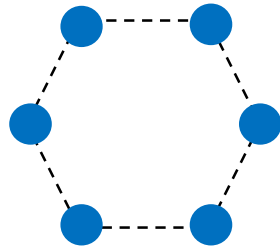


# Techniques d'optimisation

## 4.3.4 Essaims

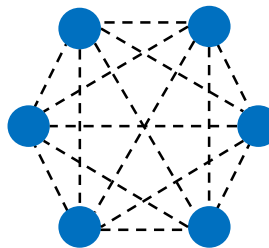
### Voisinage

- Chaque particule communique avec un groupe d'autres particules ou **voisins**.  
 $V$  = ensemble des voisins de la particule  
 $g_k$  = **meilleure position** connue des particules de  $V$  à la date  $t_k$  («  $g$  » = **groupe**)
- Plusieurs topologies de voisinage sont possibles.



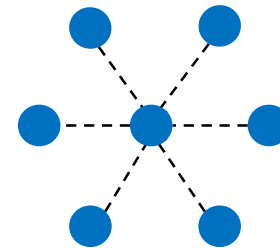
Anneau

$V = 2$  à  $m$  particules



Étoile

$V =$  toutes les particules

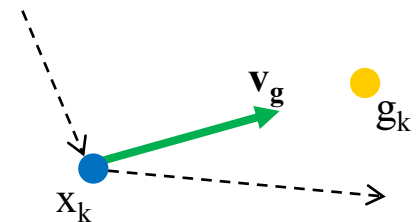


Rayon

$V =$  une particule centrale

- La particule est attirée vers la meilleure position de son groupe.  
 La vitesse est déviée par une composante  $v_g$  orientée vers  $g_k$ .

$$v_k \rightarrow v_k + v_g \quad \text{avec} \quad v_g = c_g \cdot (g_k - x_k).$$

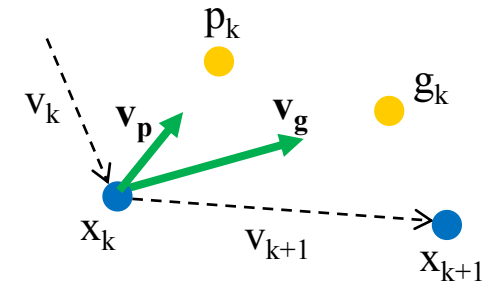
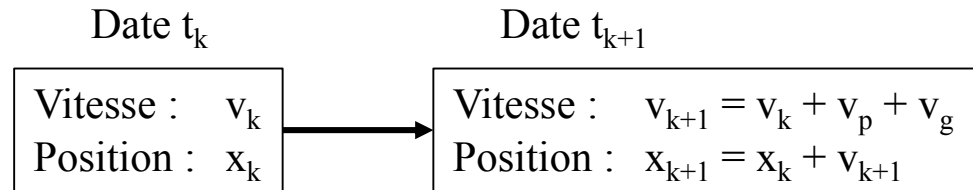


# Techniques d'optimisation

## 4.3.4 Essaims

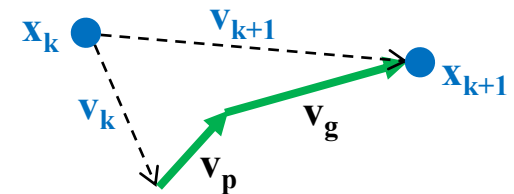
### Mouvement des particules

- L'essaim est composé de  $N$  particules dont on simule le mouvement.  
 La vitesse et la position de chaque particule sont mises à jour à chaque date.



- La nouvelle vitesse est une pondération des 3 composantes.

- composante aventureuse :  $v_k$
- composante conservatrice :  $v_p = c_p \cdot (p_k - x_k)$  avec  $c_p = c_1 r_p$
- composante panurgienne :  $v_g = c_g \cdot (g_k - x_k)$  avec  $c_g = c_2 r_g$



- Les coefficients de pondération  $c_p$  et  $c_g$  comportent
  - une part fixe ( $c_1, c_2$ )  $\rightarrow$  à régler expérimentalement selon le problème
  - une part aléatoire ( $r_p, r_g$ )  $\rightarrow$  permet une exploration large de l'espace de recherche

# Techniques d'optimisation

## 4.3.4 Essaims

### Algorithme

- On simule le mouvement d'un essaim de N particules cherchant le minimum d'une fonction.

$$\min_x f(x) \rightarrow N \text{ particules } \begin{cases} \text{positions } x^{(1)}, x^{(2)}, \dots, x^{(N)} \\ \text{vitesses } v^{(1)}, v^{(2)}, \dots, v^{(N)} \end{cases}$$

- La convergence vers le minimum global dépend :
  - du nombre de particules N → selon problème (N=10 à 100)
  - de la topologie du voisinage V → m particules (m=2 à 10), voisinage fixé ou aléatoire
  - des réglages de la vitesse → nombreuses variantes, réglage expérimental

- Mise à jour de la vitesse :

$$\boxed{v_{k+1} = \omega v_k + r_p c_1 \cdot (p_k - x_k) + r_g c_2 \cdot (g_k - x_k) + c_3 v_a}$$

$$\begin{cases} \omega & = \text{facteur d'inertie} & \in [0, 1] \\ c_1, c_2, c_3 & = \text{constantes} & \in [0, 1] \\ r_p, r_g & = \text{nombre aléatoire} & \in [0, 1] \\ v_a & = \text{perturbation aléatoire} \end{cases}$$

- On peut favoriser la convergence vers un optimum global
  - en imposant une borne  $v_{\max}$  sur la vitesse
  - en réduisant progressivement le facteur d'inertie  $\omega$
  - en réinitialisant aléatoirement les particules de vitesse faible



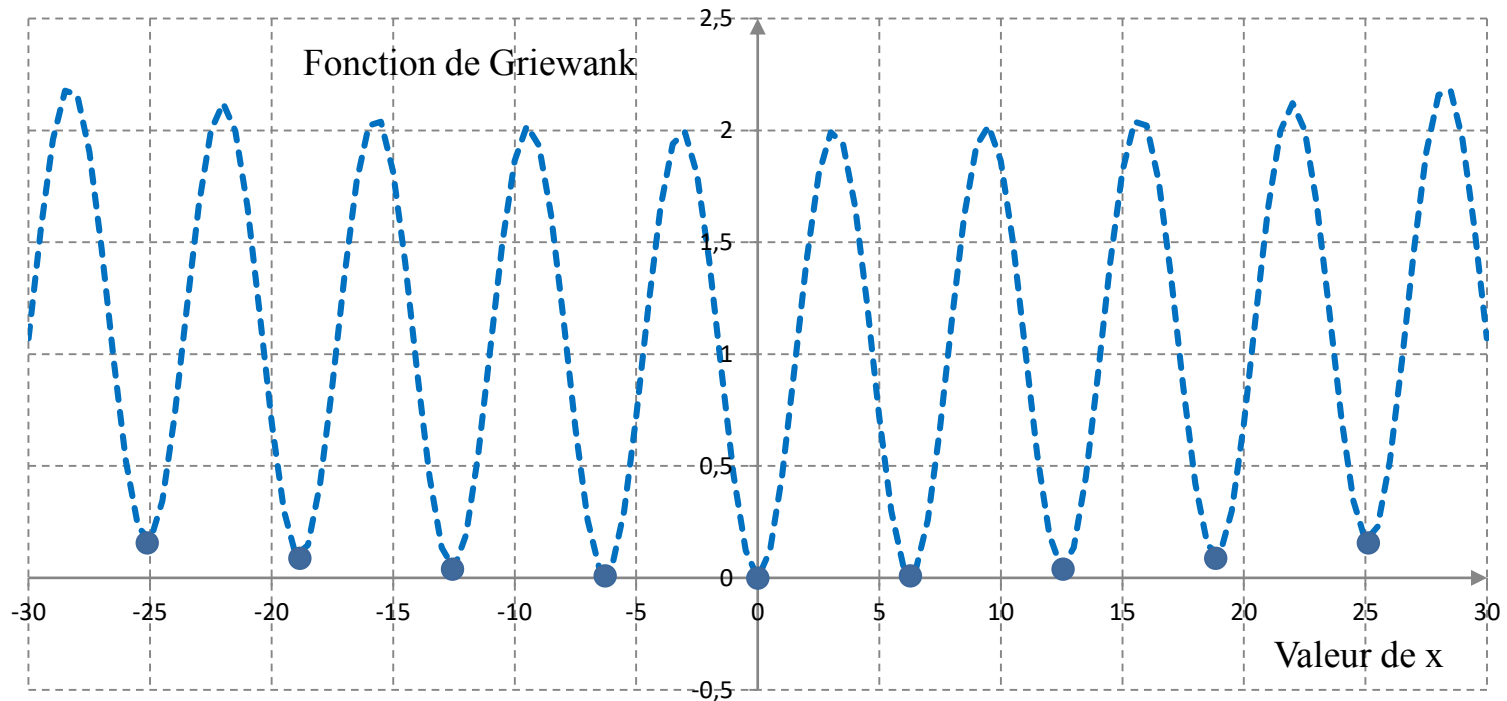
# Techniques d'optimisation

## 4.3.4 Essaims

### Exemple

Fonction de Griewank à une variable  $f(x) = \frac{x^2}{4000} - \cos(x) + 1$

Minima locaux :  $\sin(x) + \frac{x}{2000} = 0 \rightarrow$  proche de  $k \cdot 2\pi$  lorsque  $|x| \ll 2000$

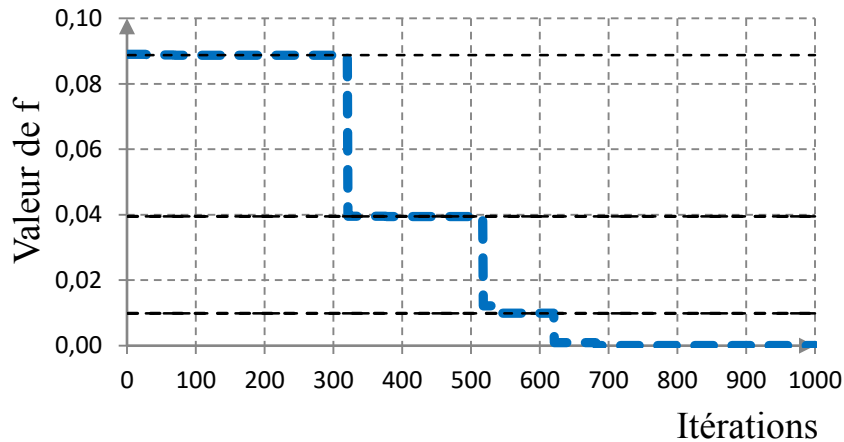
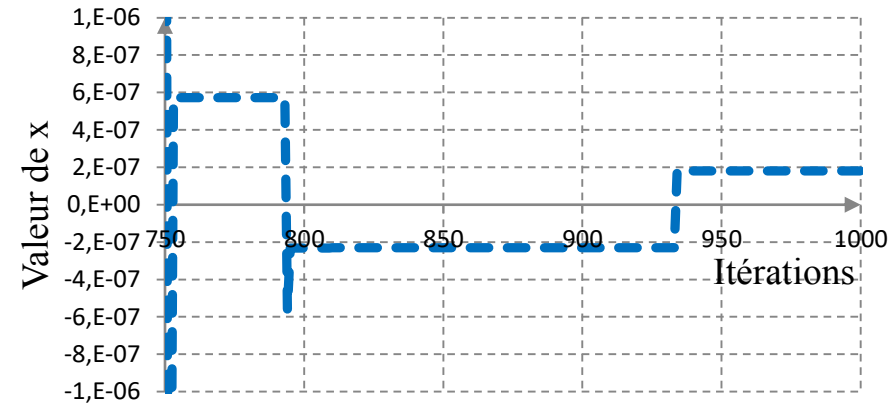
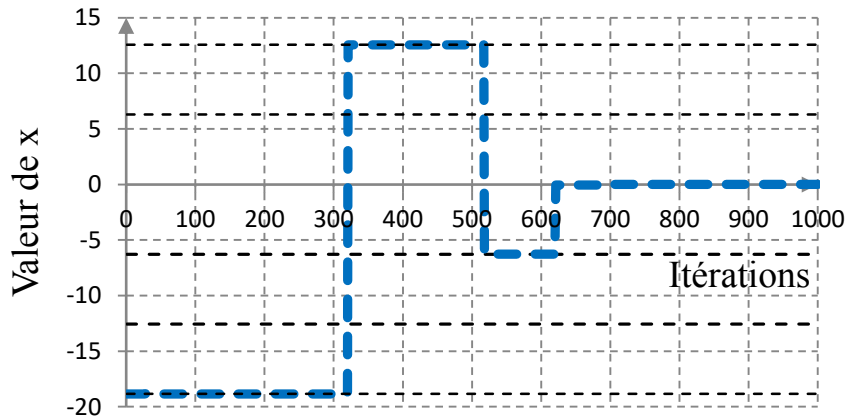


# Techniques d'optimisation

## 4.3.4 Essaims

### Exemple

Fonction de Griewank à une variable  $f(x) = \frac{x^2}{4000} - \cos(x) + 1$



- Nombre de particules : 100
- Nombre d'itérations : 1000
- Nombre d'évaluations :  $3 \cdot 10^6$

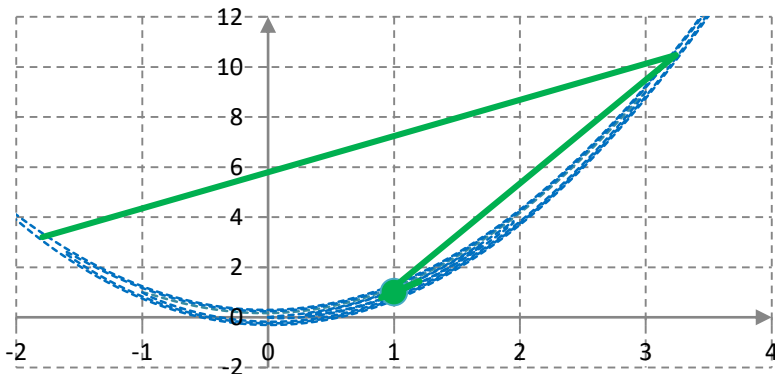
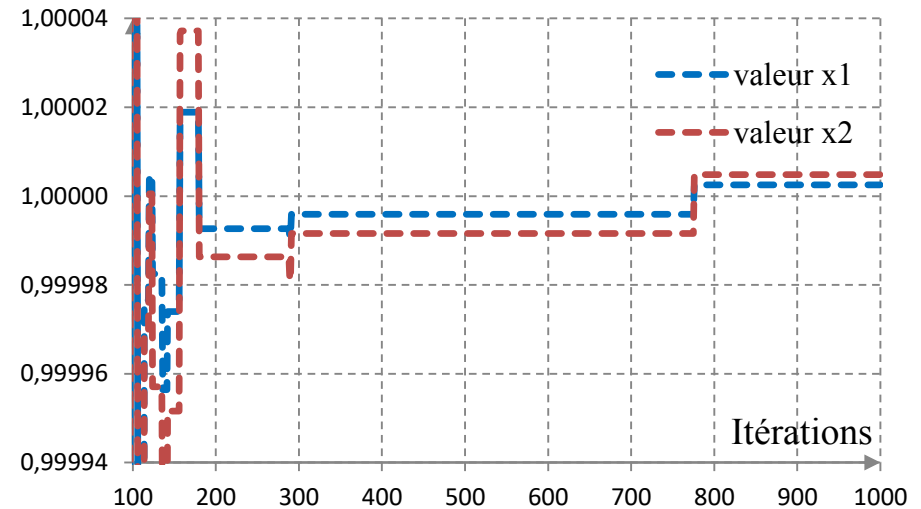
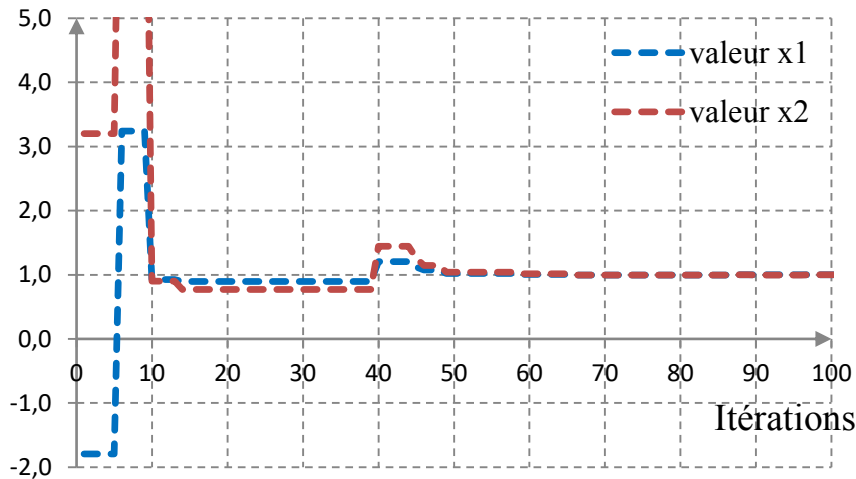
→ Solution :  $x = 1.804 \cdot 10^{-7}$

# Techniques d'optimisation

## 4.3.4 Essaims

### Exemple

Fonction de Rosenbrock à deux variables :  $f(x_1, x_2) = 100(x_2 - x_1^2)^2 + (1 - x_1)^2$



- Nombre de particules : 100
- Nombre d'itérations : 1000
- Nombre d'évaluations :  $3 \cdot 10^6$

→ Solution :  $x_1 = 1.0000025$   
 $x_2 = 1.0000048$

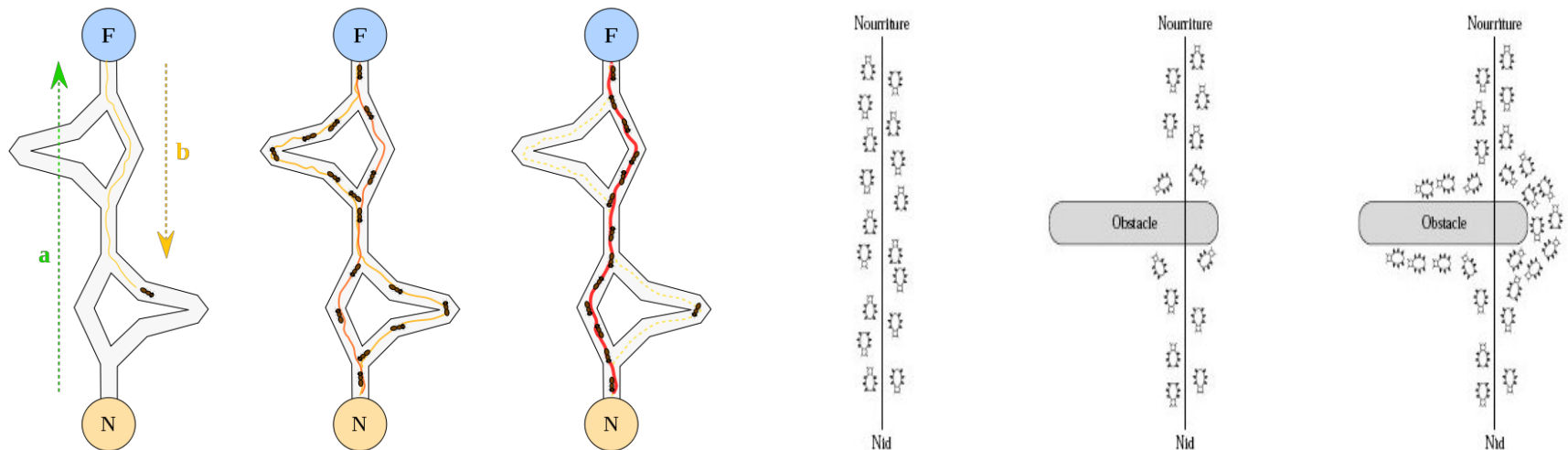
# Techniques d'optimisation

## 4.3.5 Fourmis

### Principe

La méthode des colonies de fourmis (« Ant Colony », Dorigo et co 1990) est inspirée du comportement des fourmis à la recherche de nourriture.

- Les fourmis déposent sur leur passage des substances volatiles appelées phéromones. Plus un chemin est concentré en phéromones, plus il est attractif. Ce mode de communication indirecte par modification de l'environnement est la **stigmergie**.
- Le chemin le plus court entre la fourmilière et la nourriture est parcouru plus rapidement. Il reçoit davantage de phéromones au cours du temps et devient le chemin le plus emprunté.

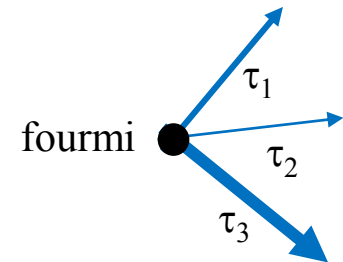


# Techniques d'optimisation

## 4.3.5 Fourmis

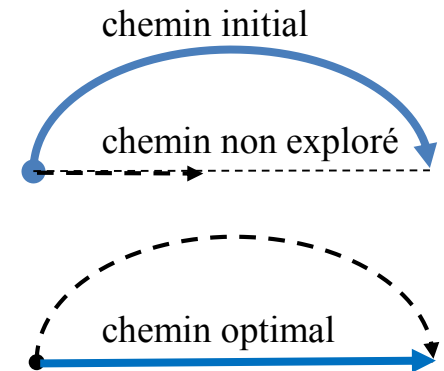
### Mouvement individuel

- Chaque fourmi se déplace de manière aléatoire indépendamment des autres fourmis. Le choix de la direction dépend de la concentration locale en phéromones.
- Le trajet d'une fourmi est composé d'une succession de segments. A partir de sa position courante, une fourmi a le choix entre plusieurs segments.
- L'**intensité**  $\tau_i$  du segment  $i$  représente sa concentration en phéromones. La probabilité  $p_i$  de choisir le segment  $i$  dépend de son intensité  $\tau_i$ .  
$$\tau_2 < \tau_1 < \tau_3 \Rightarrow p_2 < p_1 < p_3$$
  
→ Le segment 3 a une probabilité plus forte d'être sélectionné.



### Evaporation

- Si un seul chemin est marqué, toutes les fourmis le suivent. Les autres solutions ne seront pas suffisamment explorées.  
→ Le chemin sélectionné n'est pas forcément le plus court.
- L'**évaporation** des phéromones permet d'affaiblir le chemin initial. La probabilité d'explorer d'autres solutions est plus forte.



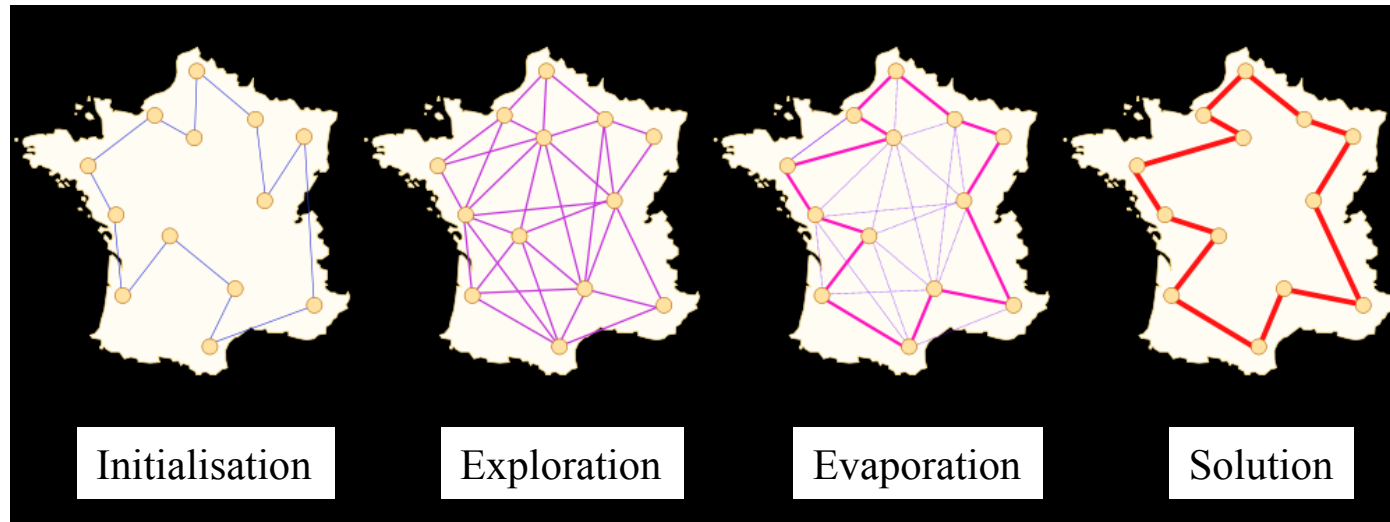
# Techniques d'optimisation

## 4.3.5 Fourmis

### Voyageur de commerce

Les algorithmes de colonies de fourmis s'appliquent de façon naturelle au PVC.

- Une fourmi « éclaireuse » crée un chemin initial peu marqué en phéromones.
- Les fourmis suivantes explorent aléatoirement l'ensemble des chemins.
- Le chemin le plus court se renforce plus rapidement en phéromones et devient plus attractif. L'évaporation fait oublier les autres chemins.



# Techniques d'optimisation

## 4.3.5 Fourmis

### Voyageur de commerce

- Lorsqu'une fourmi se trouve à la ville  $i$ , il reste un ensemble de villes non visitées  $J$ .
- La probabilité  $p_{ij}$  de choisir la ville  $j \in J$  dépend des distances  $d_{ij}$  et des concentrations.

$$p_{ij} = (\tau_{ij})^\alpha \cdot (\eta_{ij})^\beta$$

→ normalisée à 1 sur  $j \in J$

$\eta_{ij}$  = **visibilité** entre les villes  $i$  et  $j$  →  $\eta_{ij} = \frac{1}{d_{ij}}$  privilégie les villes proches

$\tau_{ij}$  = **intensité** de l'arête  $i$ - $j$  → concentration en phéromones

- Les paramètres de réglage  $\alpha$  et  $\beta$  et contrôlent l'influence de la visibilité et de l'intensité.
- A la fin de son tour, la fourmi a parcouru une distance :  $D = \sum d_{ij}$ .

Elle dépose sur les arêtes  $i$ - $j$  sélectionnées une quantité de phéromones  $\Delta\tau_{ij}$ .

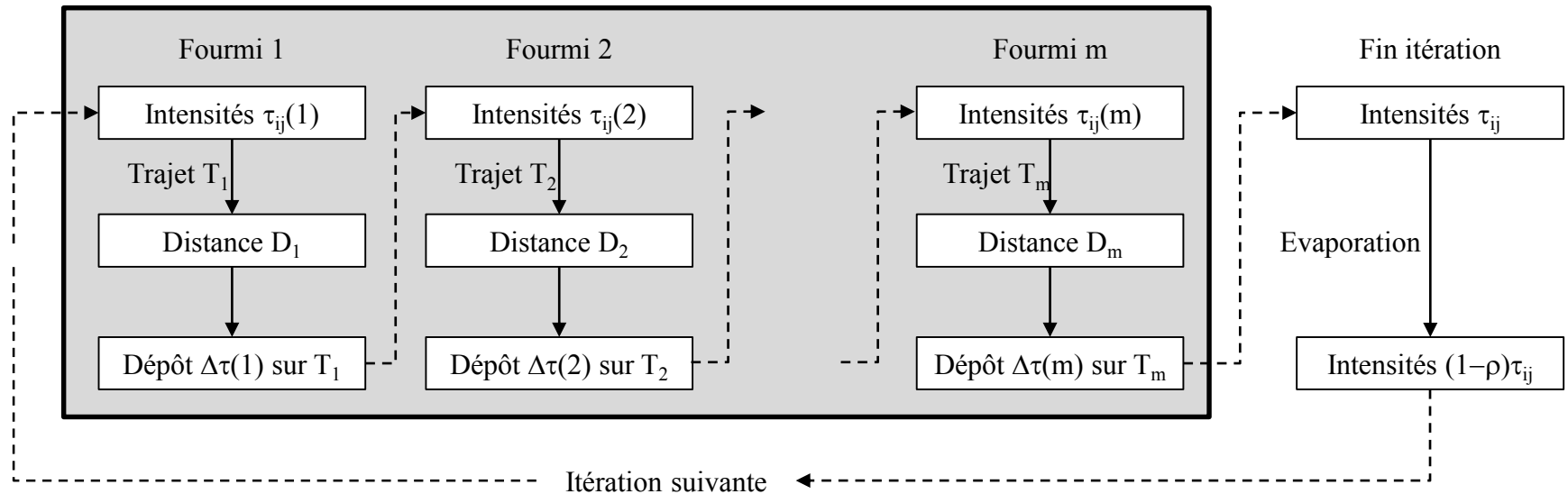
$\Delta\tau_{ij} = \frac{D_0}{D}$  si  $i$ - $j$  est sur le trajet → privilégie les chemins les plus courts  
 $D_0$  = distance de référence fixée

# Techniques d'optimisation

## 4.3.5 Fourmis

### Voyageur de commerce

- A chaque itération, un ensemble de  $m$  fourmis parcourt les  $n$  villes. Chaque fourmi augmente les intensités  $\tau_{ij}$  sur son trajet.  
$$\tau_{ij} \rightarrow \tau_{ij} + \Delta\tau_{ij}(k) \quad \text{après passage de la fourmi } k \text{ (=1 à } m \text{) sur les arêtes } i\text{-}j \text{ sélectionnées}$$
- Lorsque les  $m$  fourmis sont passées, on réduit toutes les intensités par évaporation. L'évaporation permet d'affaiblir l'attractivité des « mauvaises » solutions.  
$$\tau_{ij} \rightarrow (1 - \rho) \tau_{ij} \quad \text{sur toutes les arêtes } i\text{-}j \quad (\rho = \text{paramètre d'évaporation, } 0 < \rho < 1)$$





# Techniques d'optimisation

## 4.3.6 Algorithme évolutionnaire

### Principe

Les algorithmes évolutionnaires ou génétiques (Holland 1975) sont inspirés des principes de l'évolution et de la sélection naturelle (Darwin 1859)

- Une **population d'individus** évolue de génération en génération.  
Chaque individu est plus ou moins « performant » selon ses caractéristiques.  
L'évolution naturelle favorise les caractéristiques qui rendent un individu performant.
- Le renouvellement d'une génération (parents) se déroule en 4 étapes :
  - sélection d'une partie des parents pour la reproduction
  - croisement des parents sélectionnés pour engendrer des enfants
  - mutation (variation) éventuelle d'une partie des enfants
  - sélection entre parents et enfants pour constituer la génération suivante.
- L'évolution fait apparaître des individus de plus en plus performants.  
La rapidité et l'efficacité du processus dépend :
  - de la taille de la population
  - de la représentation (codage) des individus → variables binaires, entières, réelles
  - des opérateurs de sélection et de variation → nombreuses variantes possibles

## 4.3.6 Algorithme évolutionnaire

### Problème de minimisation

On applique un algorithme évolutionnaire à un problème de minimisation.

$$\min_x f(x) \rightarrow \begin{cases} \text{variables } x = \text{« phénotype » d'un individu} \\ \text{fonction } f = \text{« performance (fitness) » de l'individu} \end{cases}$$

- La population est constituée de  $p$  individus ( $p \approx 100$  à  $1000$  selon la nature du problème).  
Les mécanismes d'évolution ont pour objectif :
  - de conserver les meilleures solutions (sélection) → **intensification**
  - d'explorer de nouvelles solutions (variation) → **diversification**
- Les **opérateurs de sélection** sont basés sur la fonction de performance.
  - sélection déterministe, proportionnelle, par tournois, ...
  - sélection pour la reproduction, pour le remplacement
- Les **opérateurs de variation** génèrent des solutions aléatoires.
  - modification d'une partie des variables
  - variation par croisement, par mutation
- Un algorithme « génétique » utilise une représentation binaire des individus (« génotype »).  
Le génotype binaire est transcrit en **phénotype** (variables  $x$ ) avant évaluation.

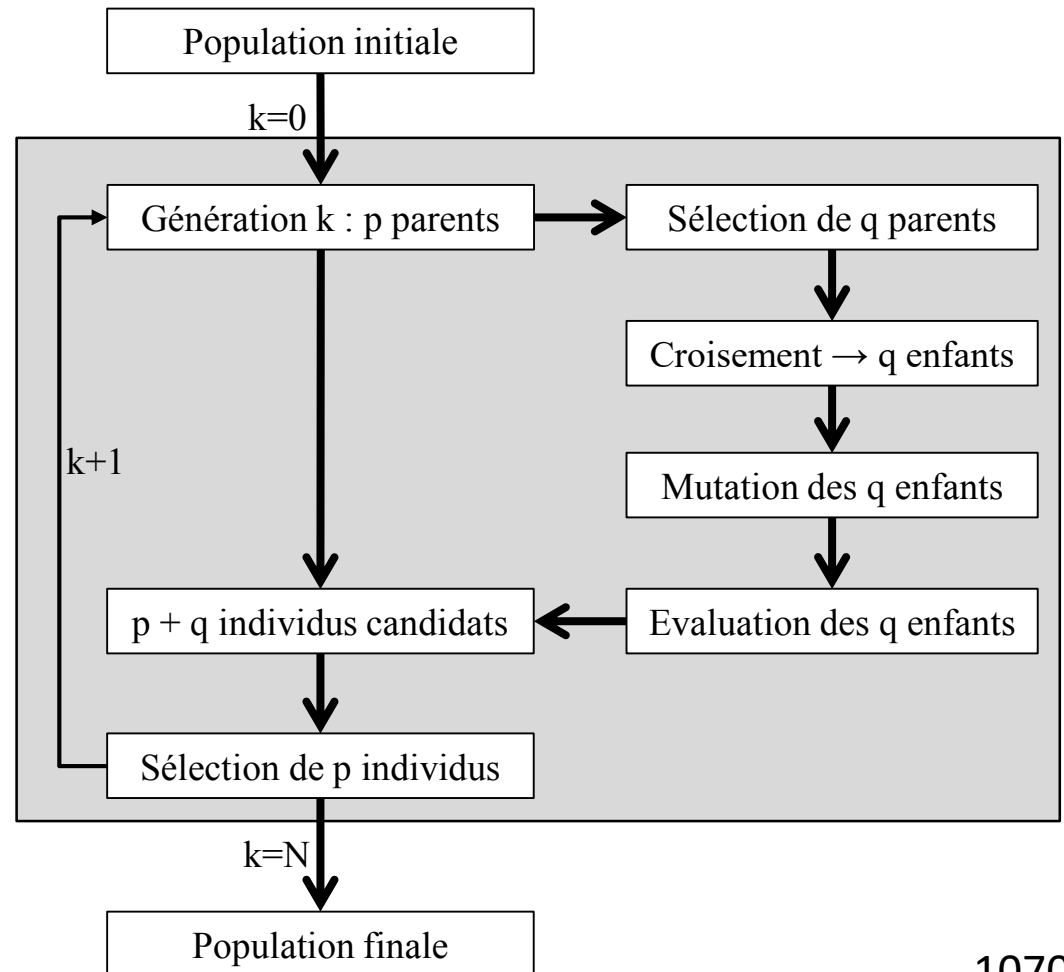
# Techniques d'optimisation

## 4.3.6 Algorithme évolutionnaire

### Algorithme

#### Eléments de l'algorithme

- Paramètres
  - $p$  = taille population
  - $q$  = nombre d'enfants
  - $N$  = nombre de générations
- **Opérateurs**
  - Sélection
  - Croisement
  - Mutation
- **Codage** des solutions
  - Binaire (génotype)
  - Réel (phénotype)
- Fonction d'évaluation
  - Fitness



## 4.3.6 Algorithme évolutionnaire

### Exemple

Minimisation de  $f(x) = x^2$

- On considère une population de 10 individus, représentés chacun par :
  - une valeur  $x_i, i=1$  à  $10$  comprise entre  $-16$  et  $+16$
  - son évaluation  $f(x_i)$
- L'étape de reproduction comprend 4 étapes :
  - sélection des 8 meilleurs parents parmi les 10 → 8 parents
  - appariement des parents sélectionnés par paires → 4 paires de parents
  - croisement de chaque paire de parents pour engendrer 2 enfants → 8 enfants
  - mutation de 2 enfants parmi les 8
- Les 8 enfants  $y_j, j=1$  à  $8$  sont ensuite évalués →  $f(y_j)$   
On dispose de 18 candidats pour la génération suivante :
  - 10 parents →  $x_i, f(x_i)$  pour  $i = 1$  à  $10$
  - 8 enfants →  $y_j, f(x_j)$  pour  $j = 1$  à  $8$
- L'étape de remplacement consiste à sélectionner les 10 meilleurs individus parmi les 18 pour constituer la génération suivante.

# Techniques d'optimisation

## 4.3.6 Algorithme évolutionnaire

### Exemple

Minimisation de  $f(x) = x^2$

Population initiale  
10 parents



Population initiale (génération k).

La population initiale comporte 10 individus (parents).

Chaque individu est représenté par

- une valeur  $x_i$ ,  $i=1$  à  $10$  comprise entre  $-16$  et  $+16$
- son évaluation ou performance  $f(x_i)$

Les individus sont triés par performance décroissante (valeur de  $f$  croissante car  $f$  est à minimiser).

+1 (1)
+5 (25)
-5 (25)
-8 (64)
-10 (100)
+11 (121)
-11 (121)
+12 (144)
-12 (144)
+13 (169)

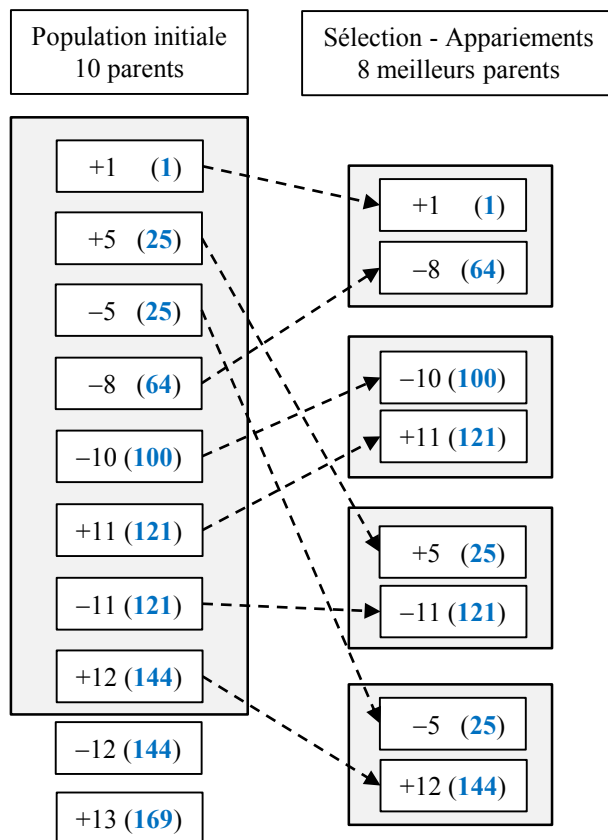
performance décroissante

# Techniques d'optimisation

## 4.3.6 Algorithme évolutionnaire

### Exemple

Minimisation de  $f(x) = x^2$



### Sélection pour la reproduction

Les 8 meilleurs parents sont sélectionnés,  
puis appariés aléatoirement 2 à 2.

→ sélection déterministe

Méthodes de sélection possibles

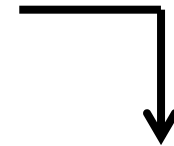
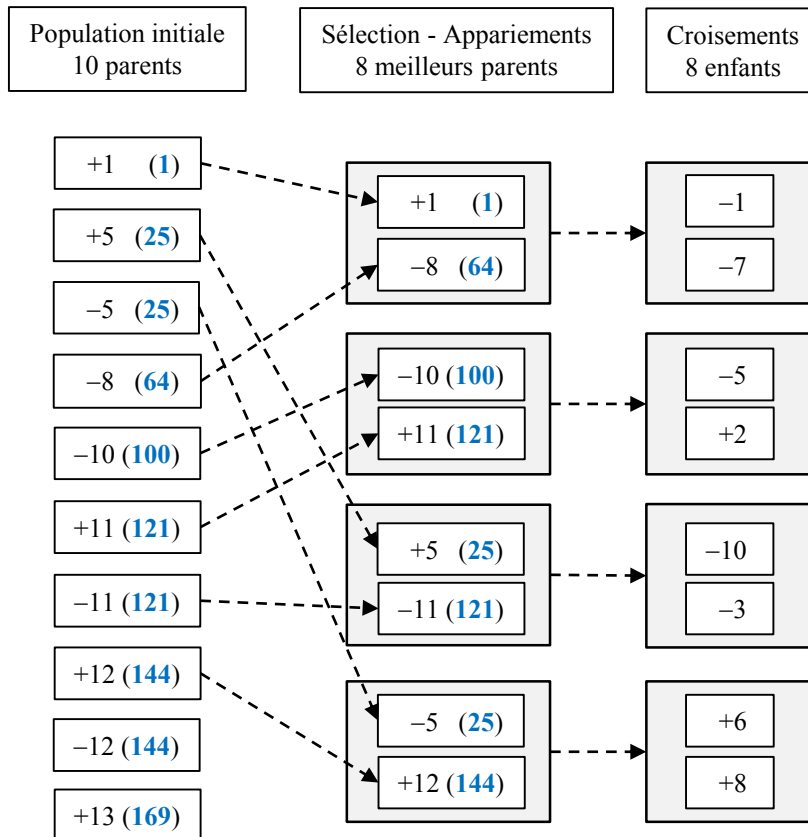
- Proportionnelle  
Un parent peut être sélectionné plusieurs fois proportionnellement à sa performance.
- Tournois  
Plusieurs parents sont tirés pour le tournoi.  
Le meilleur parent du tournoi est sélectionné.

# Techniques d'optimisation

## 4.3.6 Algorithme évolutionnaire

### Exemple

Minimisation de  $f(x) = x^2$



### Croisement

2 parents engendrent 2 enfants par croisement.  
 Pour chaque enfant, la valeur de  $x$  est tirée aléatoirement entre celles des parents.

L'opérateur de croisement doit être adapté au problème :

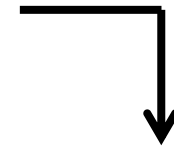
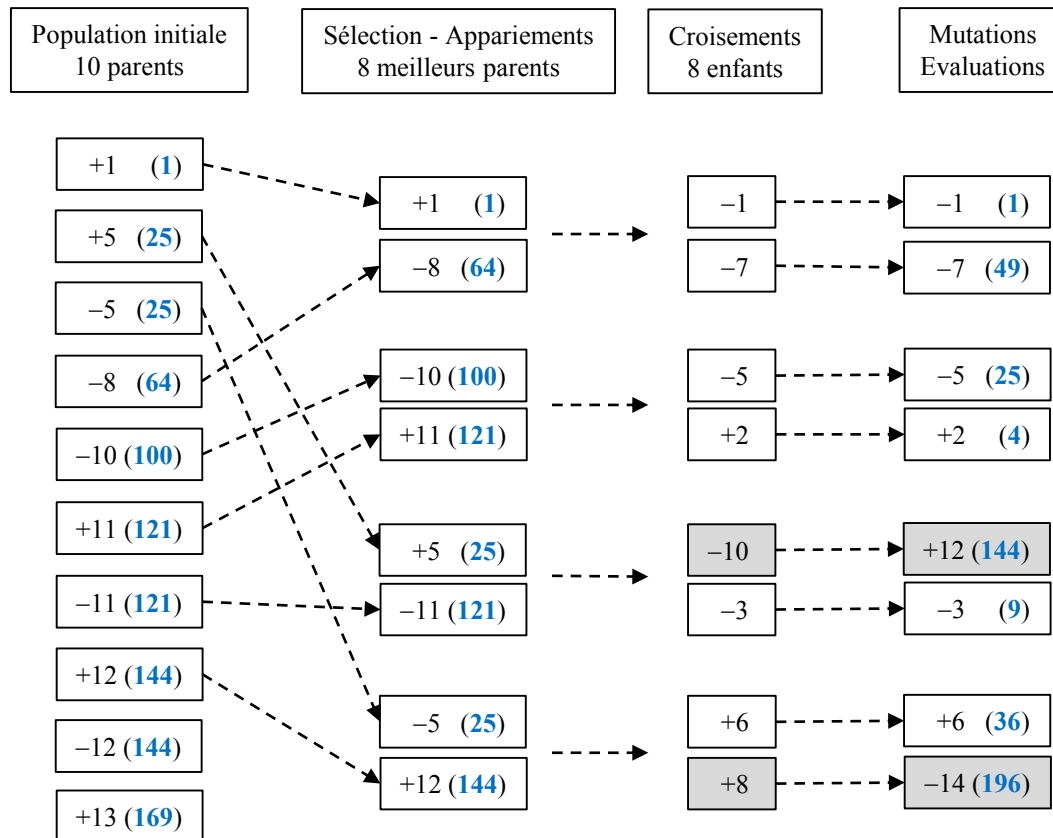
- variables entières ou réelles
- fonction continue, minima locaux
- proximité parents / enfants

# Techniques d'optimisation

## 4.3.6 Algorithme évolutionnaire

### Exemple

Minimisation de  $f(x) = x^2$



### Mutation

2 enfants sont modifiés aléatoirement.  
 Les 8 enfants sont ensuite évalués.

L'opérateur de mutation peut être uniforme ou gaussien.

Pour une mutation gaussienne, l'écart-type  $\sigma$  évolue selon le taux  $\tau$  de mutations favorables.

### Règle des 1/5

- $\tau > 1/5$  → augmenter  $\sigma$
- $\tau < 1/5$  → diminuer  $\sigma$

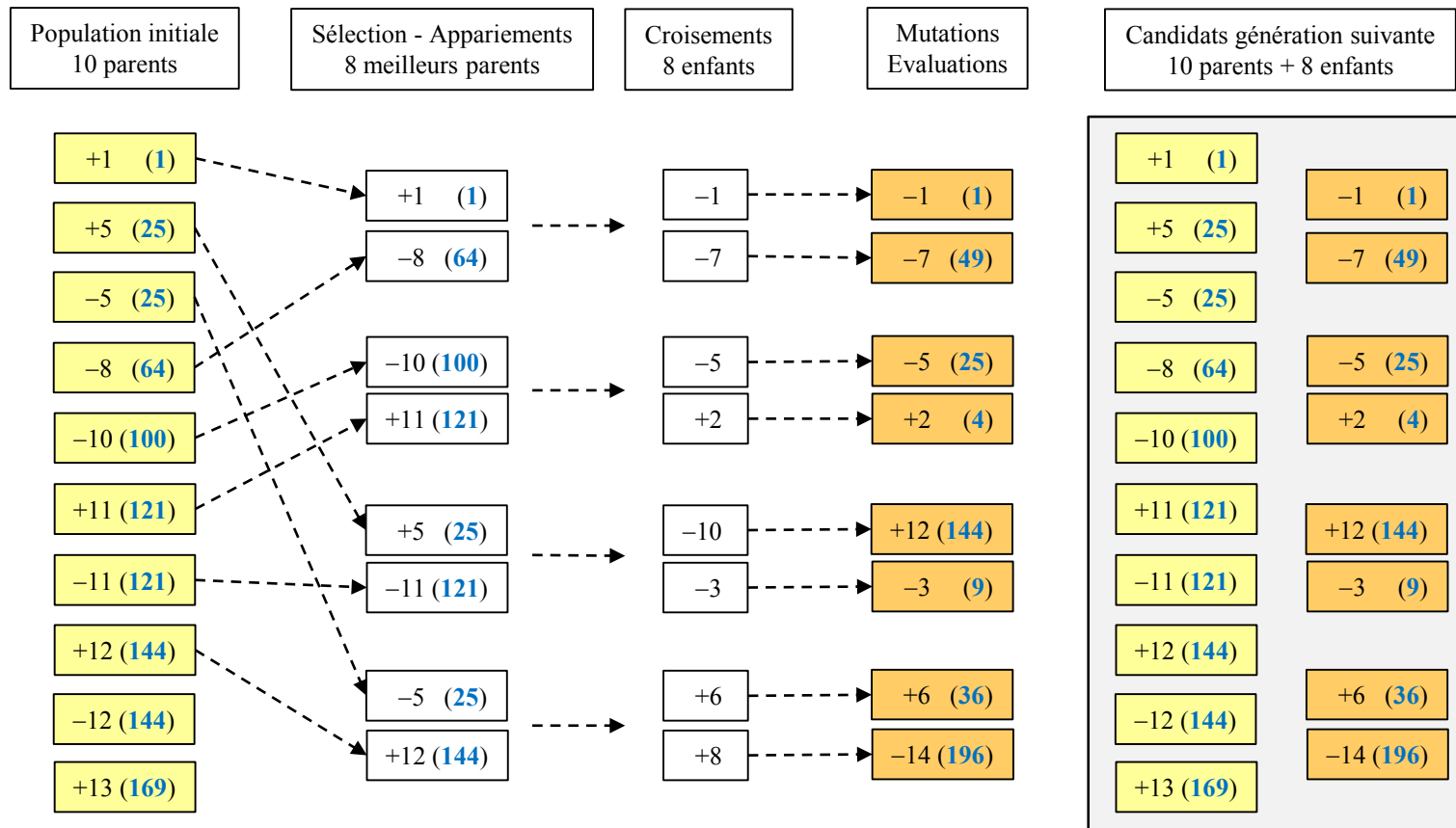


# Techniques d'optimisation

## 4.3.6 Algorithme évolutionnaire

### Exemple

Minimisation de  $f(x) = x^2$

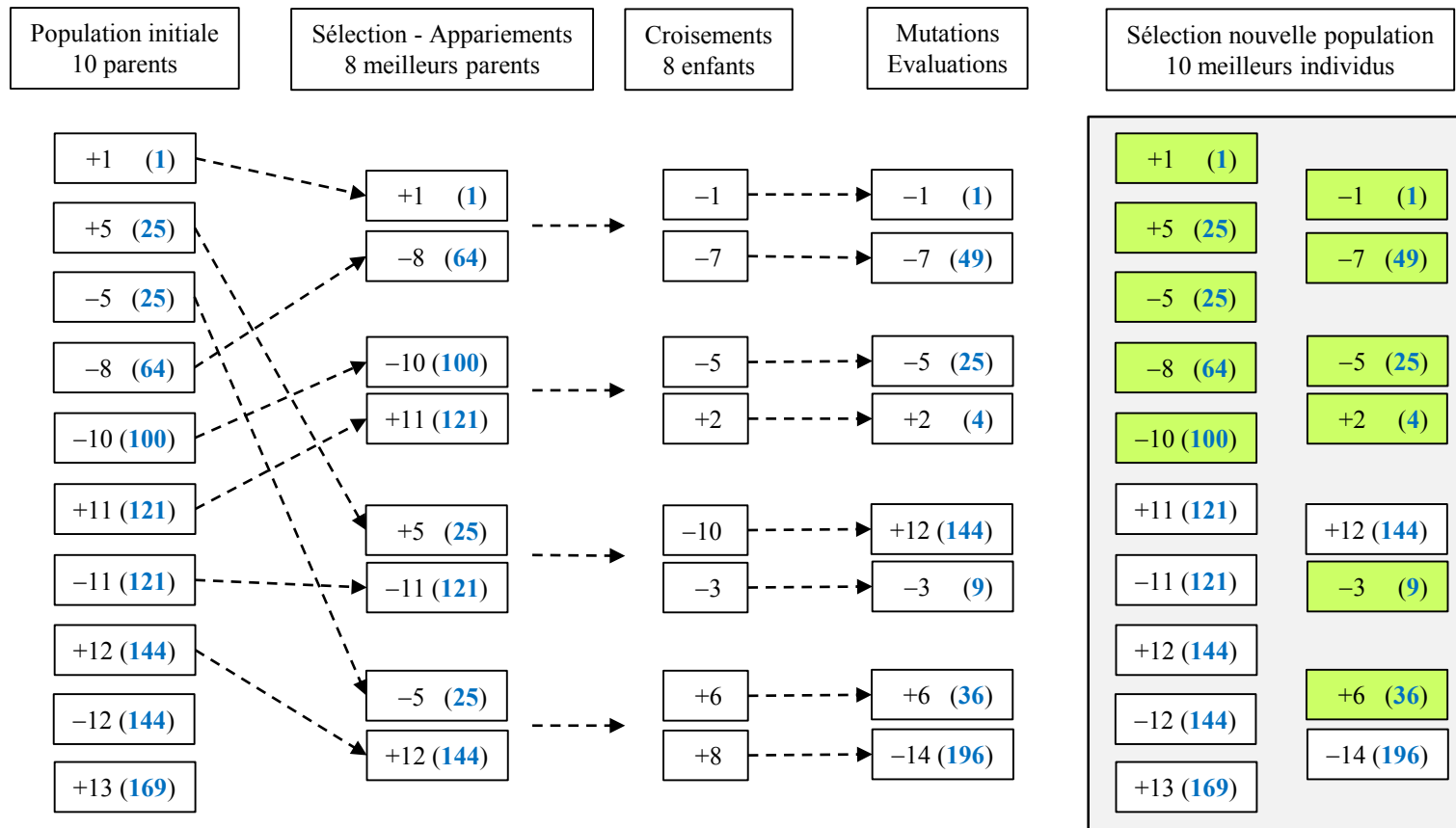


# Techniques d'optimisation

## 4.3.6 Algorithme évolutionnaire

### Exemple

Minimisation de  $f(x) = x^2$

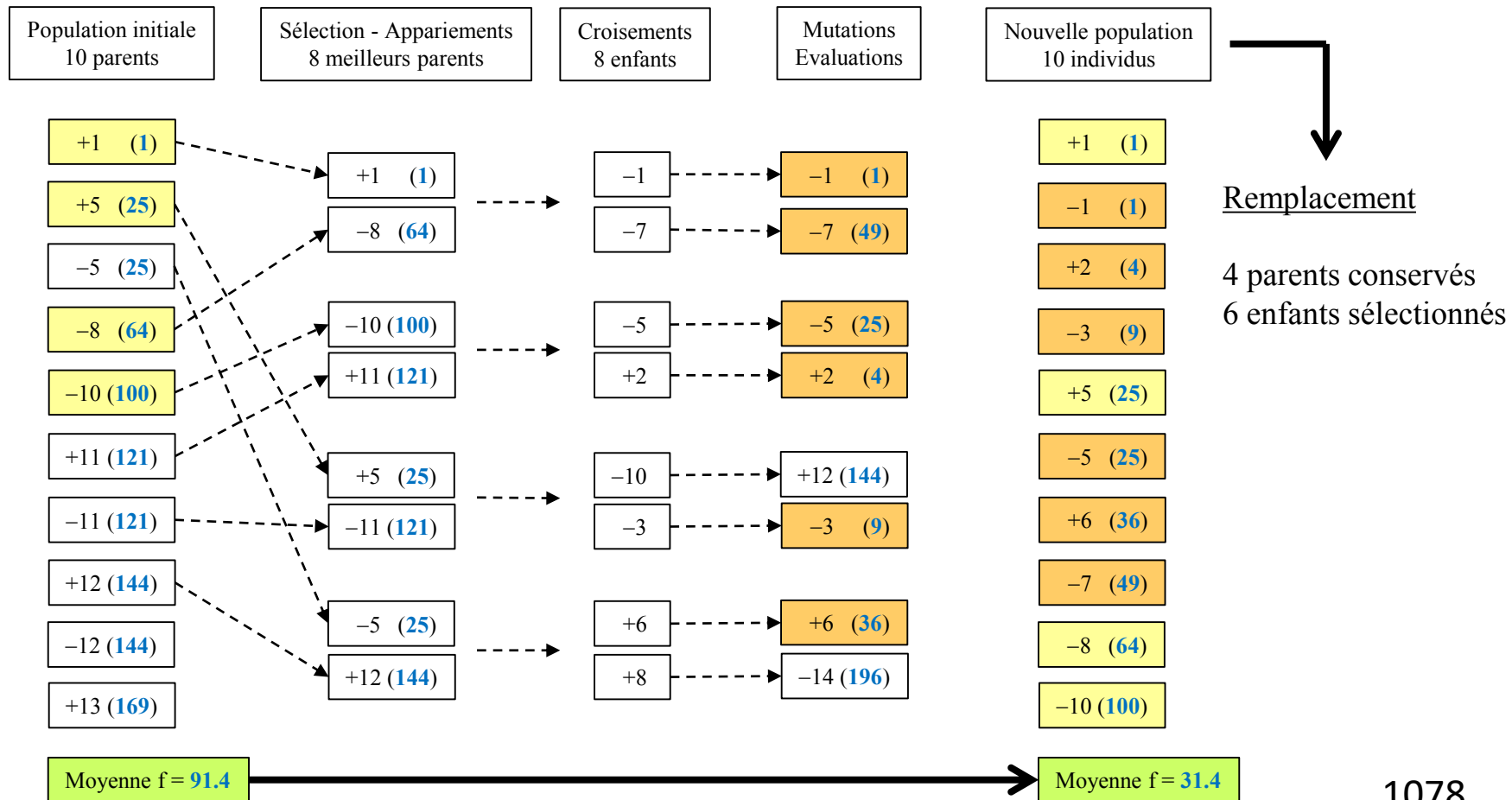


# Techniques d'optimisation

## 4.3.6 Algorithme évolutionnaire

### Exemple

Minimisation de  $f(x) = x^2$



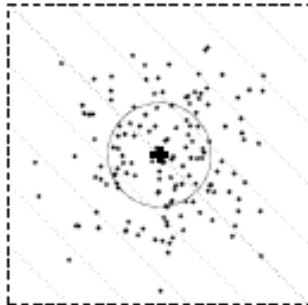
# Techniques d'optimisation

## 4.3.7 Adaptation de covariance

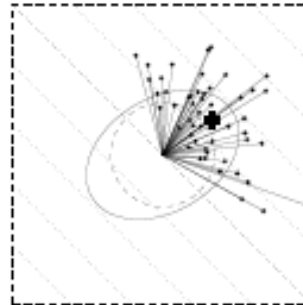
### Principe

La méthode d'adaptation de covariance (« CMAES », Hansen et Ostermeier 2001) combine un algorithme évolutionnaire avec une méthode de descente.

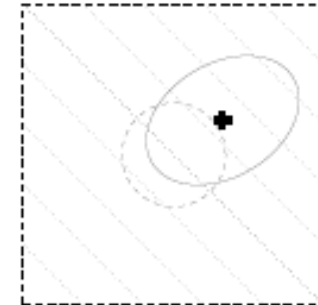
- CMAES = « Covariance Matrix Adaptation Evolution Strategy »  
L'aspect **évolutionnaire** (ES) permet une **diversification** par génération aléatoire de candidats.  
L'aspect **descente** (CMA) permet une **intensification** vers le minimum local.
- Une itération se déroule en 3 étapes :
  - tirage de candidats suivant une loi normale
  - sélection des meilleurs candidats (minimisation de  $f(x)$ )
  - mise à jour (adaptation) de la moyenne et la covariance



Tirage



Sélection



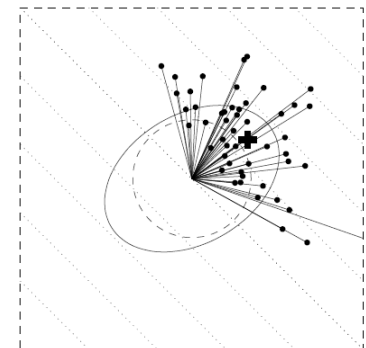
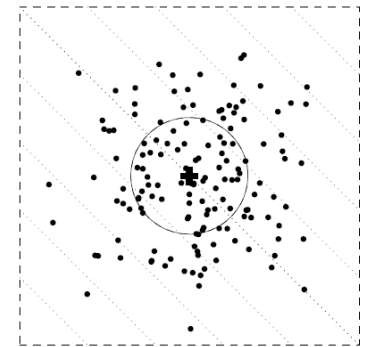
Adaptation

# Techniques d'optimisation

## 4.3.7 Adaptation de covariance

### Echantillon de candidats

- Les paramètres de la distribution au début de l'itération sont :
  - la moyenne :  $m$
  - la covariance :  $C$
  - le pas d'exploration :  $\sigma$
- On génère un **échantillon** de  $p$  candidats :  $x_i = m + \sigma y_i$ ,  $i = 1$  à  $p$   
Les variables  $y$  suivent une loi normale :  $y_i \leftarrow N(0,C)$
- Les  $q$  meilleurs candidats sont sélectionnés :  $x_j = m + \sigma y_j$ ,  $j = 1$  à  $q$   
 $f(x_1) \leq f(x_2) \leq \dots \leq f(x_q) \leq \dots \leq f(x_p)$
- Les variables de déplacement  $y_j$  associées aux  $q$  meilleurs candidats permettent de :
  - construire une direction de descente
  - adapter la matrice de covariance
- Les **paramètres  $m$ ,  $C$ ,  $\sigma$**  de la distribution sont mis à jour à partir :
  - des valeurs précédentes de  $m$ ,  $C$ ,  $\sigma$
  - de la moyenne et de la covariance des  $y_j$ ,  $j= 1$  à  $q$
  - du taux de réussite de l'échantillon  $\rightarrow f(x_i) < f(m)$



# Techniques d'optimisation

## 4.3.7 Adaptation de covariance

### Moyenne et pas

- La **direction de descente**  $d$  est la moyenne pondérée des  $q$  meilleurs déplacements.

$$d = \sum_{j=1}^q w_j y_j \quad \rightarrow \text{poids } w_1, w_2, \dots, w_q \text{ associés aux déplacements } y_1, y_2, \dots, y_q$$

( $y_1 =$  meilleur candidat)

- Mise à jour de la **moyenne**  $m$

$$m \rightarrow m + \sigma d$$

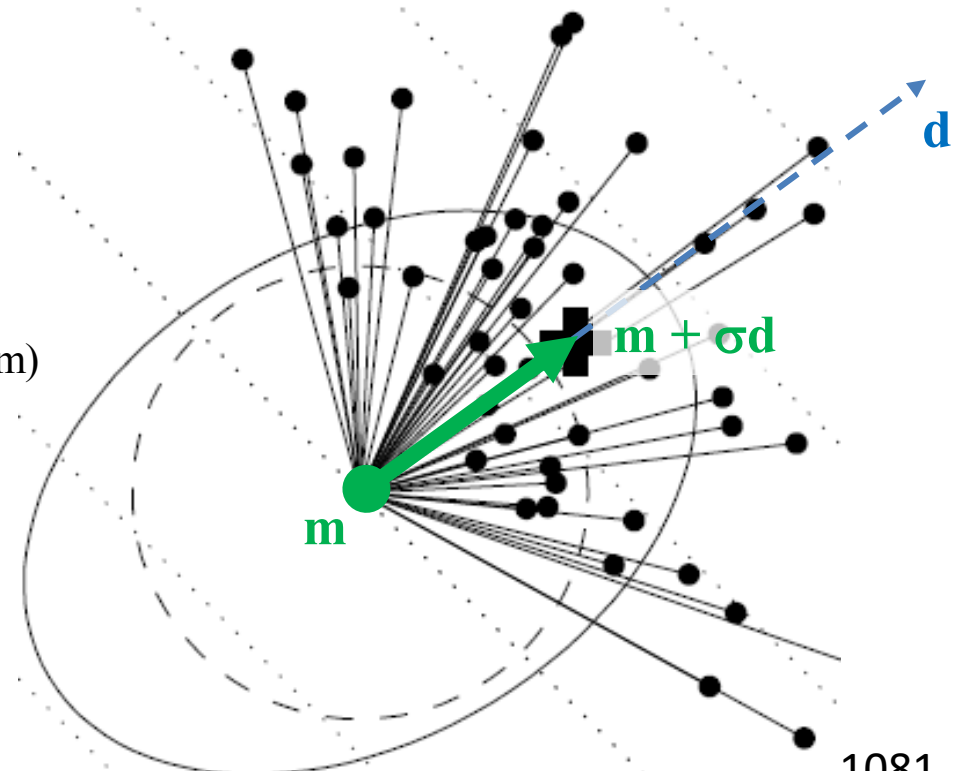
- Mise à jour du **pas**  $\sigma$

$\tau =$  taux de réussite de l'échantillon  
 = part de candidats  $x_i$  tels que  $f(x_i) < f(m)$

### Règle des 1/5

- Si  $\tau > 1/5$ , on augmente  $\sigma$ .
- Si  $\tau < 1/5$ , on diminue  $\sigma$ .

$$\sigma \rightarrow \alpha_\sigma \sigma \text{ avec } \alpha_\sigma = e^{\frac{1}{3} \frac{\tau - \tau_s}{1 - \tau_s}}, \tau_s = 1/5$$



# Techniques d'optimisation

## 4.3.7 Adaptation de covariance

### Covariance

- La covariance pondérée des  $q$  meilleurs déplacements est  $C_q$ .

$$C_q = \sum_{j=1}^q w_j (y_j \cdot y_j^T) \rightarrow \text{matrice de rang } q$$

- La direction  $d$  définit une matrice  $C_d$ .

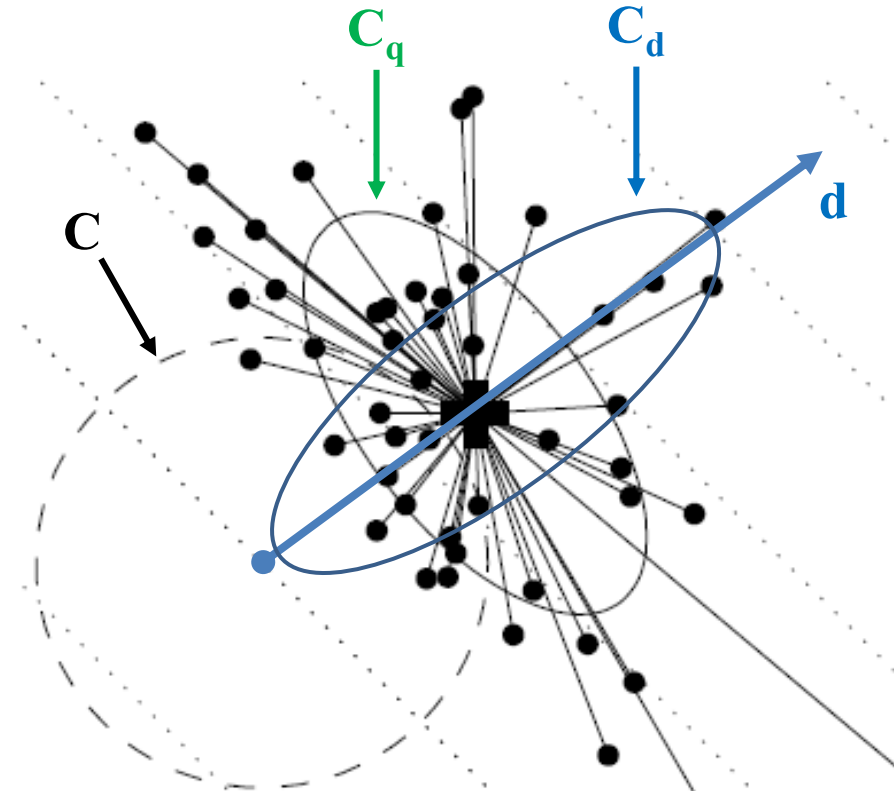
$$C_d = d \cdot d^T \rightarrow \text{matrice de rang } 1$$

( $\approx$  mise à jour hessien par méthode SR1)

- Mise à jour de la covariance  $C$

$$C \rightarrow (1 - \alpha_q - \alpha_d)C + \alpha_q C_q + \alpha_d C_d$$

avec des pondérations  $\alpha_q, \alpha_d$



# Techniques d'optimisation

## 4.3.7 Adaptation de covariance

### Itération CMAES

- Mise à jour de  $m$ ,  $C$ ,  $\sigma$

$$m \rightarrow m + \sigma d \quad \text{avec } d = \sum_{j=1}^q w_j y_j$$

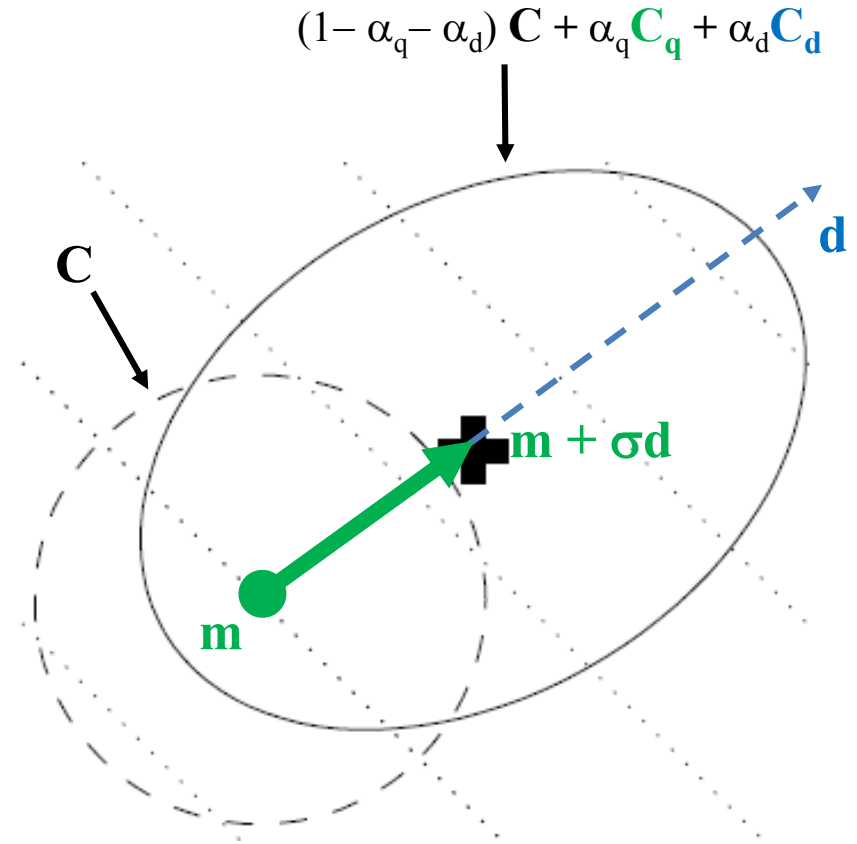
$$\sigma \rightarrow \alpha_\sigma \sigma \quad \text{avec } \alpha_\sigma = e^{\frac{1}{3} \frac{\tau - \tau_s}{1 - \tau_s}}, \tau_s = 1/5$$

$$C \rightarrow (1 - \alpha_q - \alpha_d)C + \alpha_q C_q + \alpha_d C_d$$

$$C_q = \sum_{j=1}^q w_j (y_j \cdot y_j^T) \rightarrow \text{rang } q$$

$$C_d = d \cdot d^T \rightarrow \text{rang } 1$$

- Direction moyenne  
 On peut remplacer  $d$  par  $(1 - \alpha_p)d_p + \alpha_c d$   
 → pondération entre direction précédente  $d_p$   
 et direction courante  $d_c$   
 → moyenne des directions successives





# Techniques d'optimisation

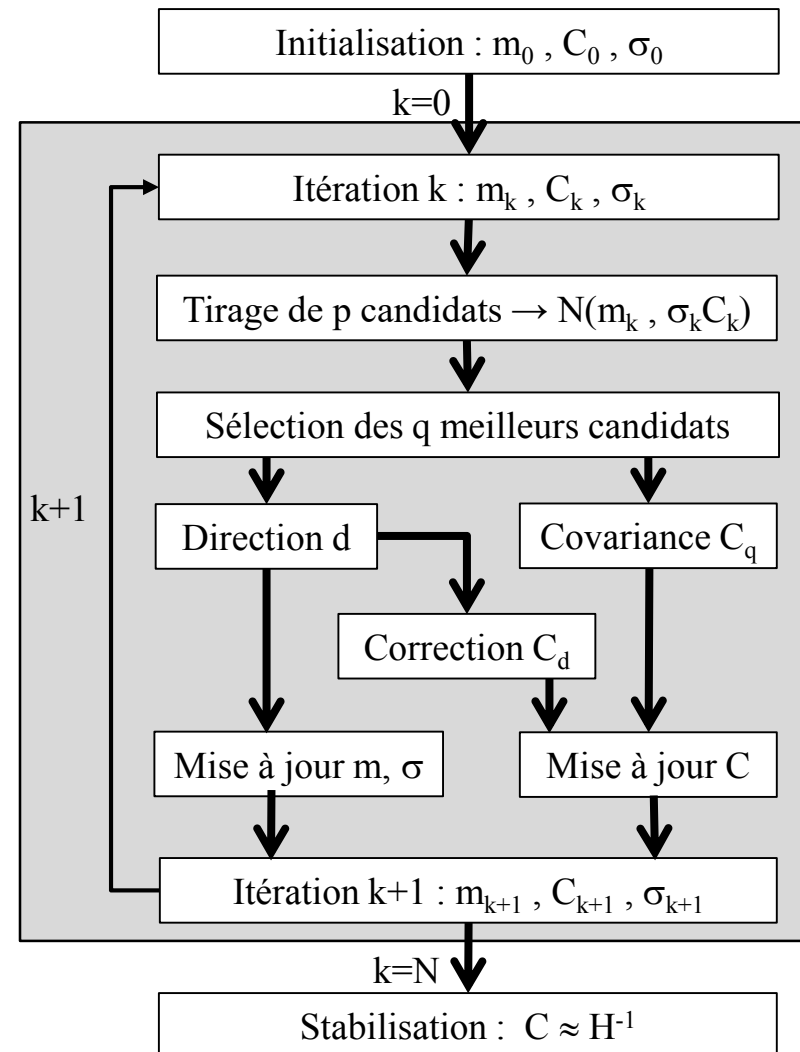
## 4.3.7 Adaptation de covariance

### Algorithme

#### Paramètres de l'algorithme

- Tailles  
 $p$  = taille échantillon  
 $q$  = taille sélection
- Poids  
 $w_j$  = poids sur  $y_j, j=1$  à  $q$
- Pondérations  
 $\alpha_\sigma \rightarrow$  pas  $\sigma$   
 $\alpha_q \rightarrow$  correction covariance  $C_q$   
 $\alpha_d \rightarrow$  correction covariance  $C_d$   
 $\alpha_p \rightarrow$  direction précédente  $d_p$

Réglages standards expérimentaux  
 en fonction de la taille du problème



# Techniques d'optimisation

## 4.3.7 Adaptation de covariance

### Relation covariance - hessien

- Au voisinage du minimum  $m$  de  $f$  :  $f(x) \approx f(m) + \frac{1}{2}(x - m)^T \nabla^2 f(m)(x - m)$  avec  $\nabla f(m) = 0$

Les **lignes de niveau** de  $f$  vérifient :  $(x - m)^T H(x - m) = C^{te}$  avec  $H = \nabla^2 f(m)$

- La densité de la loi normale  $N(m, C)$  à  $n$  variables est :  $p(x) = \frac{1}{(2\pi)^{\frac{n}{2}} |C|^{\frac{1}{2}}} e^{-\frac{1}{2}(x-m)^T C^{-1}(x-m)}$

Les **lignes d'iso-densité** vérifient :  $(x - m)^T C^{-1}(x - m) = C^{te}$

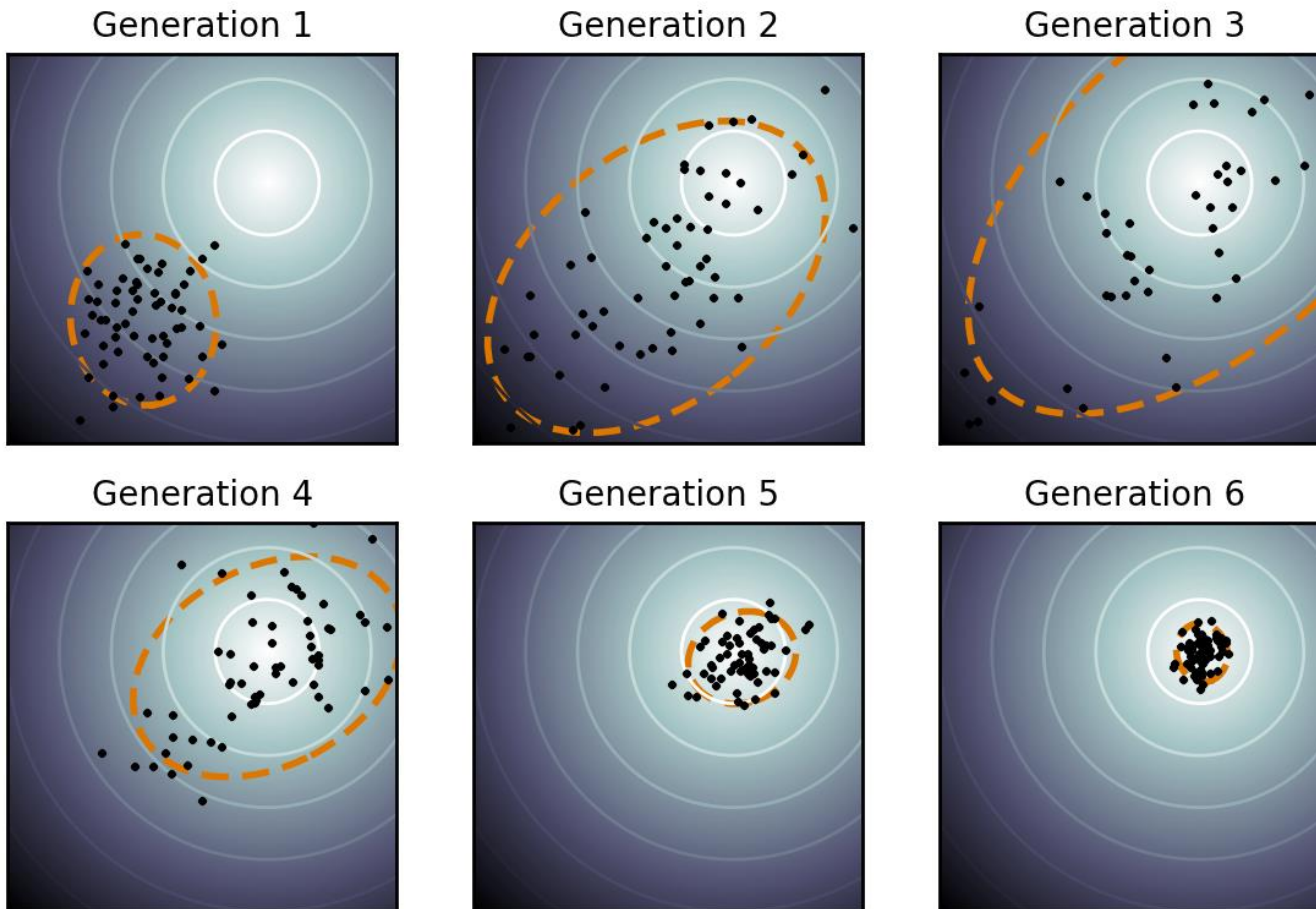
- La direction de déplacement  $d$  est définie à partir d'un échantillon de loi  $N(m, \sigma C)$ .  
 Au voisinage du minimum, si la covariance  $C$  est proche de  $H^{-1}$  (à un facteur près),  
 l'échantillon  $x_i, i = 1 \text{ à } p$  suit les lignes de niveau de  $f$ .  
 → pas de direction privilégiée ( $d \approx 0$ )  
 → stabilisation de  $m$  et  $C$
- Lorsque les itérations CMAES se stabilisent, on observe en pratique que :  $C \approx \alpha H^{-1}$   
 → résultat expérimental, pas de preuve théorique de convergence

# Techniques d'optimisation

## 4.3.7 Adaptation de covariance

### Relation covariance - hessien

Convergence de la covariance vers un multiple du hessien :  $C \approx \alpha H^{-1}$

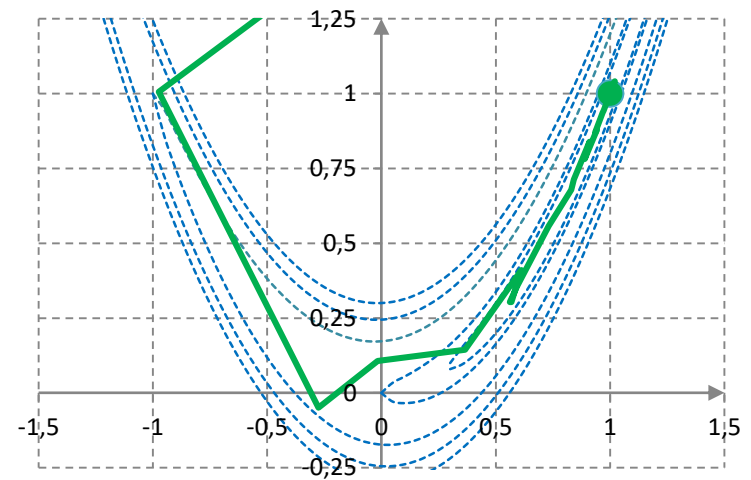
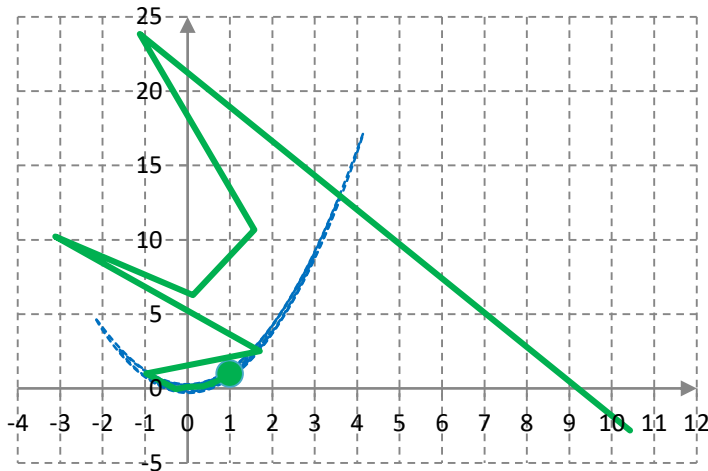


# Techniques d'optimisation

## 4.3.7 Adaptation de covariance

### Exemple

Fonction de Rosenbrock à deux variables :  $f(x_1, x_2) = 100(x_2 - x_1^2)^2 + (1 - x_1)^2$



- Covariance :  $C^{-1} = \begin{pmatrix} 240.5 & -119.4 \\ -119.4 & 59.5 \end{pmatrix} \cdot 10^9$

- Hessien :  $H = \begin{pmatrix} 802 & -400 \\ -400 & 200 \end{pmatrix}$

- Nombre d'itérations : 140
- Nombre d'évaluations : 800

→ Solution :  $x_1 = 0.99999936$   
 $x_2 = 0.99999938$

# Techniques d'optimisation

## 4.3.8 Affine shaker

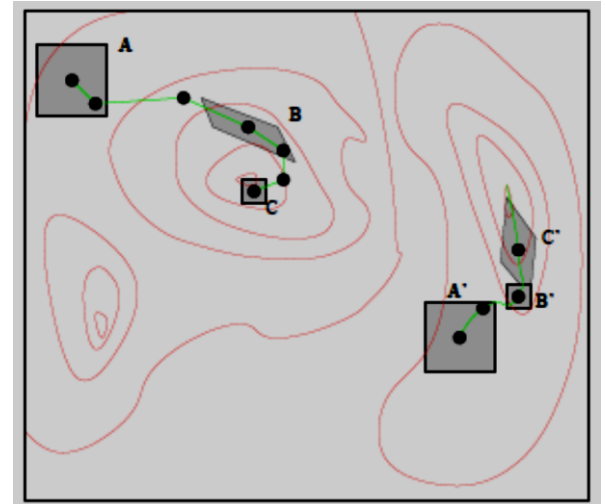
### Principe

La méthode Affine Shaker (Battiti et Tecchioli 1994) est une **recherche aléatoire locale**.  
La région de recherche est modifiée en fonction de l'amélioration constatée sur la fonction.

« shaker » ← mouvement aléatoire

« affine » ← transformation affine de la région de recherche

- La région de recherche B est centrée sur le point courant  $x_0 \rightarrow f_0 = f(x_0)$   
Un déplacement aléatoire  $d$  est tiré dans la région de recherche.
- La fonction est évaluée en  $x_1 = x_0 + d \rightarrow f_1 = f(x_1)$   
Si  $f_1 < f_0$ , le point  $x_1$  est sélectionné.  
La région B est **dilatée** suivant la direction  $d$ .
- Sinon on évalue le point  $x_2 = x_0 - d \rightarrow f_2 = f(x_2)$   
Si  $f_2 < f_0$ , le point  $x_2$  est sélectionné.  
La région B est **dilatée** suivant la direction  $d$ .
- Sinon la région B est **contractée** suivant la direction  $d$ .  
Le point  $x_0$  est conservé.



# Techniques d'optimisation

## 4.3.8 Affine shaker

### Région de recherche

- La région de recherche  $B$  est définie dans  $\mathbb{R}^n$  par  **$n$  vecteurs indépendants**  $b_1, \dots, b_n$ .

$$B = (b_1, \dots, b_n) \text{ avec } b_i \in \mathbb{R}^n$$

- Le déplacement  $d$  est une combinaison linéaire des  $b_i$  avec des coefficients aléatoires  $\beta_i$ . Les coefficients  $\beta_i$  sont tirés uniformément dans  $[-1, +1]$ .

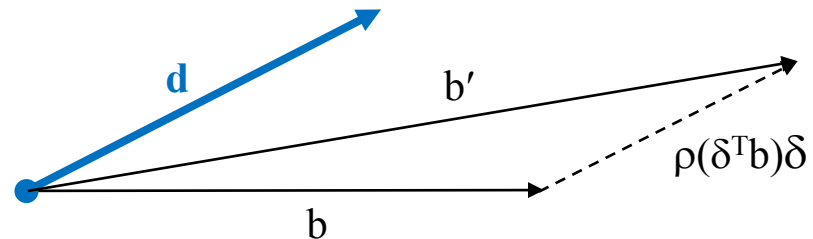
$$d = \sum_{i=1}^n \beta_i b_i \text{ avec } -1 \leq \beta_i \leq 1$$

- La région  $B$  est dilatée ou contractée avec un coefficient  $\rho$  suivant la direction  $d$ . On ajoute à chaque vecteur  $b$  une composante proportionnelle au produit scalaire  $d^T b$ .

$$b \rightarrow \boxed{b' = b + \rho(\delta^T b)\delta} \text{ avec } \delta = \frac{d}{\|d\|} \rightarrow \text{vecteur unitaire suivant } d$$

$$\Rightarrow b' = b + \rho \frac{d^T b}{\|d\|^2} d$$

- Dilatation :  $\rho = \rho_d > 0$  ( $\rho_d = +0.5$ )  
 Contraction :  $\rho = \rho_c < 0$  ( $\rho_c = -0.5$ )



# Techniques d'optimisation

## 4.3.8 Affine shaker

### Région de recherche

- On applique la transformation à chacun des vecteurs  $b_1, \dots, b_n$  définissant la région  $B$ .

$$b'_i = b_i + \rho(\delta^T b_i)\delta, \quad i = 1 \text{ à } n$$

- Sous forme matricielle**, en notant  $B$  la matrice  $n \times n$  des vecteurs colonnes  $b_1, \dots, b_n$

$$B = (b_1 \quad b_2 \quad \dots \quad b_n) = \begin{pmatrix} b_1 & b_2 & \dots & \dots & b_n \\ b_{11} & b_{21} & \dots & \dots & b_{n1} \\ b_{12} & b_{22} & \dots & \dots & b_{n2} \\ \vdots & \vdots & & & \vdots \\ \vdots & \vdots & & & \vdots \\ b_{1n} & b_{2n} & \dots & \dots & b_{nn} \end{pmatrix} \quad \text{et} \quad \delta = \begin{pmatrix} \delta_1 \\ \delta_2 \\ \vdots \\ \delta_n \end{pmatrix}$$

$$\begin{cases} b'_1 = b_1 + \rho\delta(\delta^T b_1) \\ b'_2 = b_2 + \rho\delta(\delta^T b_2) \\ \vdots \\ b'_n = b_n + \rho\delta(\delta^T b_n) \end{cases} \Leftrightarrow B' = B + \rho\delta(\delta^T B) = B + \rho(\delta\delta^T)B = (I + \rho\delta\delta^T)B$$

$$\Leftrightarrow B' = PB \quad \text{avec} \quad P = I + \rho\delta\delta^T = I + \rho \frac{d d^T}{\|d\|^2}$$

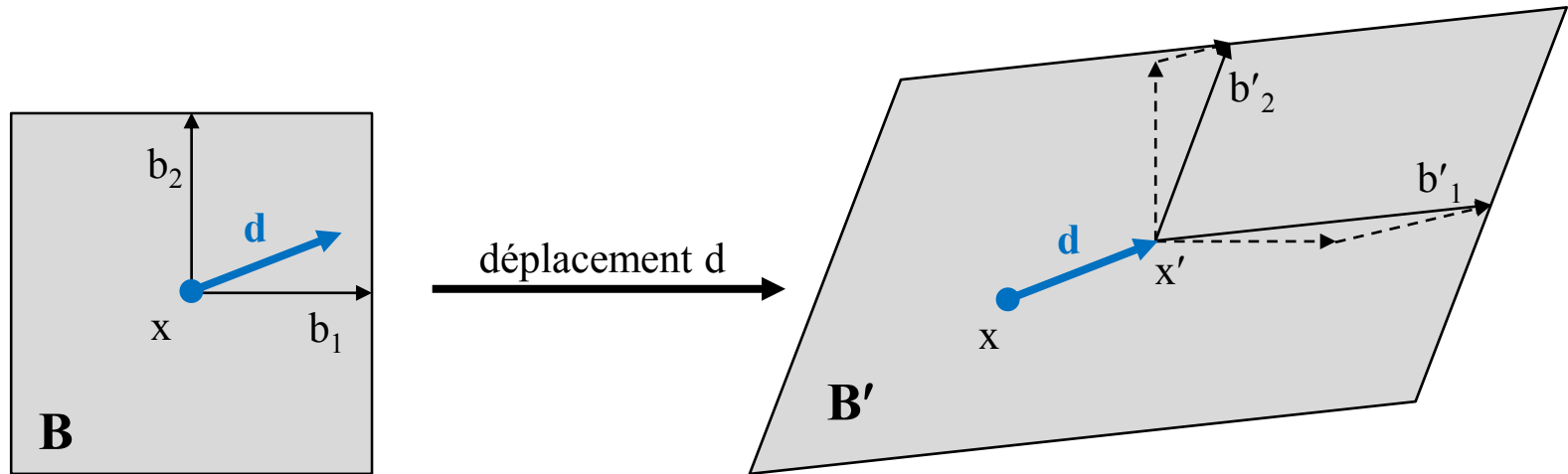
→ **matrice de transformation P**

# Techniques d'optimisation

## 4.3.8 Affine shaker

### Illustration en 2D

- La région initiale  $B$  est un **carré** défini par  $(b_1, b_2)$ .
- Le déplacement aléatoire  $d$  donne un point  $x' = x + d$ .
- Les vecteurs  $b_1$  et  $b_2$  deviennent  $b'_1$  et  $b'_2$  : 
$$\begin{cases} b'_1 = b_1 + \rho(\delta^T b_1)\delta \\ b'_2 = b_2 + \rho(\delta^T b_2)\delta \end{cases} \Leftrightarrow B' = \left( I + \rho \frac{dd^T}{\|d\|^2} \right) B$$
- La nouvelle région  $B'$  est un **parallélogramme** dilaté suivant la direction  $d$ .



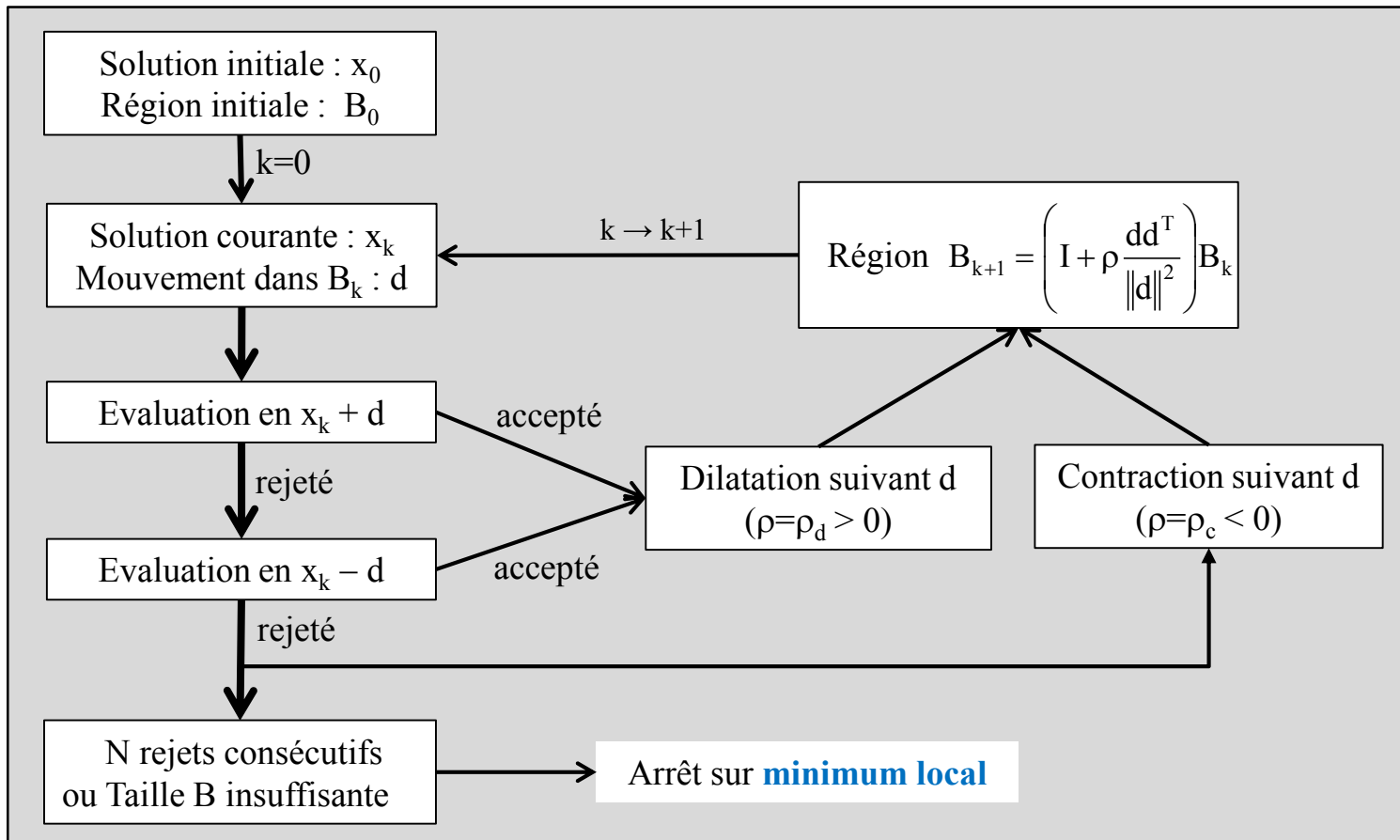


# Techniques d'optimisation

## 4.3.8 Affine shaker

### Algorithme

L'algorithme s'applique à un problème de minimisation sans contrainte :  $\min_{x \in \mathbb{R}^n} f(x)$   
 Il s'arrête sur un **minimum local** qui dépend de l'initialisation  $x_0, B_0$ .

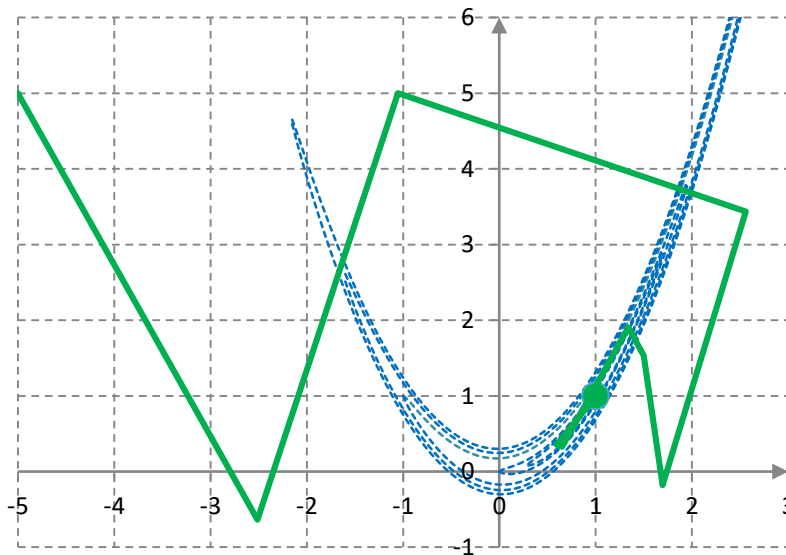


# Techniques d'optimisation

## 4.3.8 Affine shaker

### Exemple

Fonction de Rosenbrock à deux variables :  $f(x_1, x_2) = 100(x_2 - x_1^2)^2 + (1 - x_1)^2$



$N_f$	f	$x_1$	$x_2$
1	40036,0	-5,0000	5,0000
3	4842,0	-2,5123	-0,6379
6	1517,8	-1,0533	5,0000
9	971,7	2,5591	3,4356
15	932,0	1,6944	-0,1809
24	51,5	1,4993	1,5322
39	1,2779	1,3401	1,9036
48	1,0386	0,6511	0,3282
402	0,1641	0,5952	0,3527
1206	0,000097	0,9903	0,9806
28944	0,000023	1,0040	1,0082
95676	0,000021	0,9978	0,9960

- Initialisation :  $x_1 = -5$   
 $x_2 = 5$
- Progression initiale rapide :  $x_1 = 0.99$  après 1200 appels fonctions  
 $x_2 = 0.98$
- Convergence précise lente → nécessite plusieurs milliers d'appels fonction

## 4.3.9 Reformulations

### Problème d'optimisation difficile

$\min_x f(x)$  → problème d'optimisation (PO)

- Le problème est considéré comme « difficile » dans 2 cas.
  - Les variables sont discrètes → contrainte d'intégrité de la solution
  - La fonction admet des minima locaux → difficulté de garantir le minimum global

Des techniques de reformulation permettent de favoriser la résolution.

- Les contraintes d'intégrité peuvent être prises en compte par pénalisation.
  - transforme le problème mixte en problème continu
  - permet d'appliquer des algorithmes sans contrainte (classiques ou métaheuristiques)
- Le minimum global peut être isolé par transformations successives.
  - dilatation de la fonction pour éliminer les minima locaux supérieurs à un seuil
  - poursuite de l'algorithme sur la fonction dilatée
- Les reformulations améliorent l'efficacité des métaheuristiques et/ou élargissent leur champ d'application.

## 4.3.9 Variables discrètes

### Méthode de pénalisation

$\min_x f(x)$  → problème à une variable  $x$

- On suppose que la variable  $x$  est astreinte à un ensemble discret de valeurs.

$$x \in D = \{d_1, d_2, \dots, d_p\}$$

- On définit une fonction de pénalisation  $\varphi$  :  $\varphi(x) = 0$  si  $x \in D$   
 $\varphi(x) > 0$  sinon

Exemples de pénalisation :  $\varphi(x) = -(x - d_j)(x - d_{j+1})$  avec  $j$  tel que  $d_j \leq x < d_{j+1}$

$$\varphi(x) = \sin\left(\pi \frac{x - d_j}{d_{j+1} - d_j}\right)$$

- La pénalisation crée des minima locaux pour les valeurs admissibles  $x \in D$ .  
 On peut ensuite appliquer une méthode d'optimisation continue à la fonction pénalisée.

$\min_{x \in \mathbb{R}} F(x) = f(x) + \rho\varphi(x)$  → minimisation sur la variable  $x$  continue  
 pénalisation  $\rho$  à régler pour forcer  $x \in D$

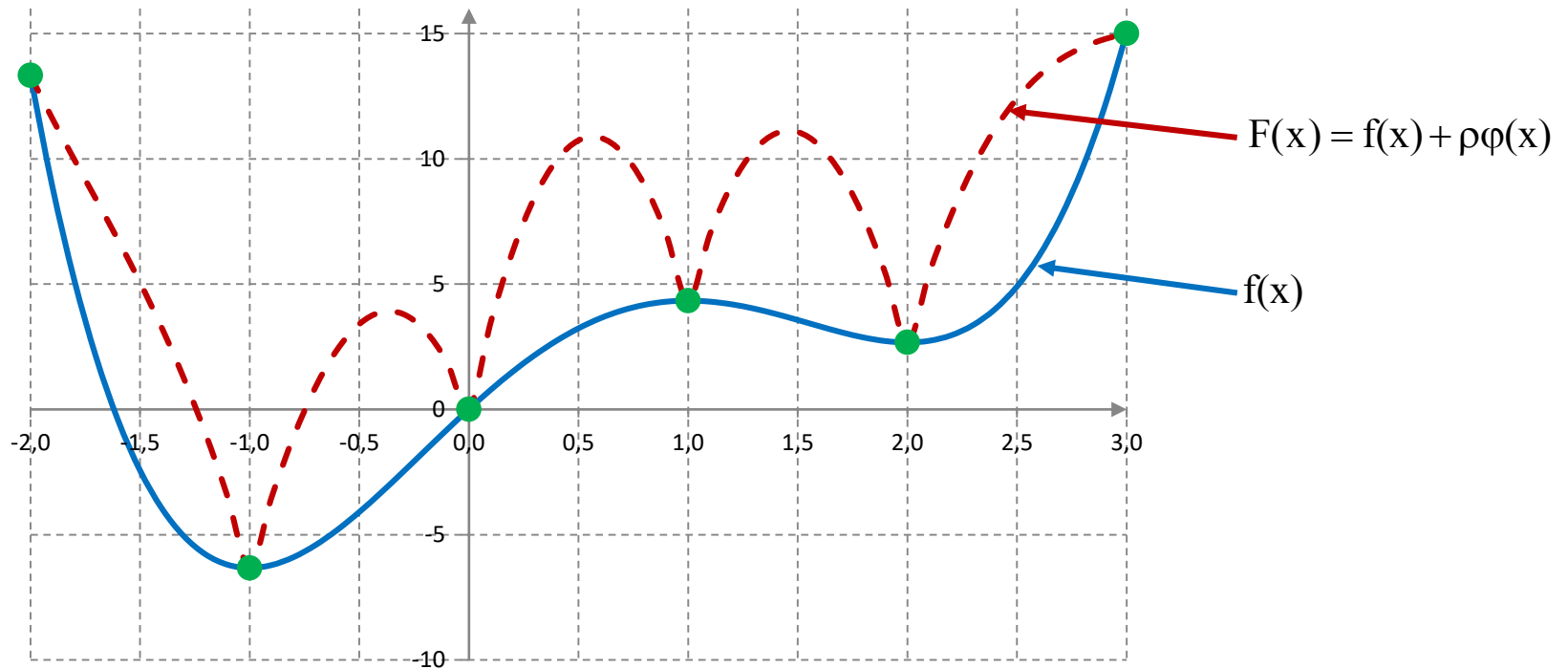
# Techniques d'optimisation

## 4.3.9 Variables discrètes

### Exemple

$$\min_x f(x) = x^4 - \frac{8}{3}x^3 - 2x^2 + 8x \quad \text{avec } x \in \{-1, 0, 1, 2\}$$

- Fonction pénalisée avec  $\varphi(x) = -(x - d_j)(x - d_{j+1})$  et  $\rho = 30$



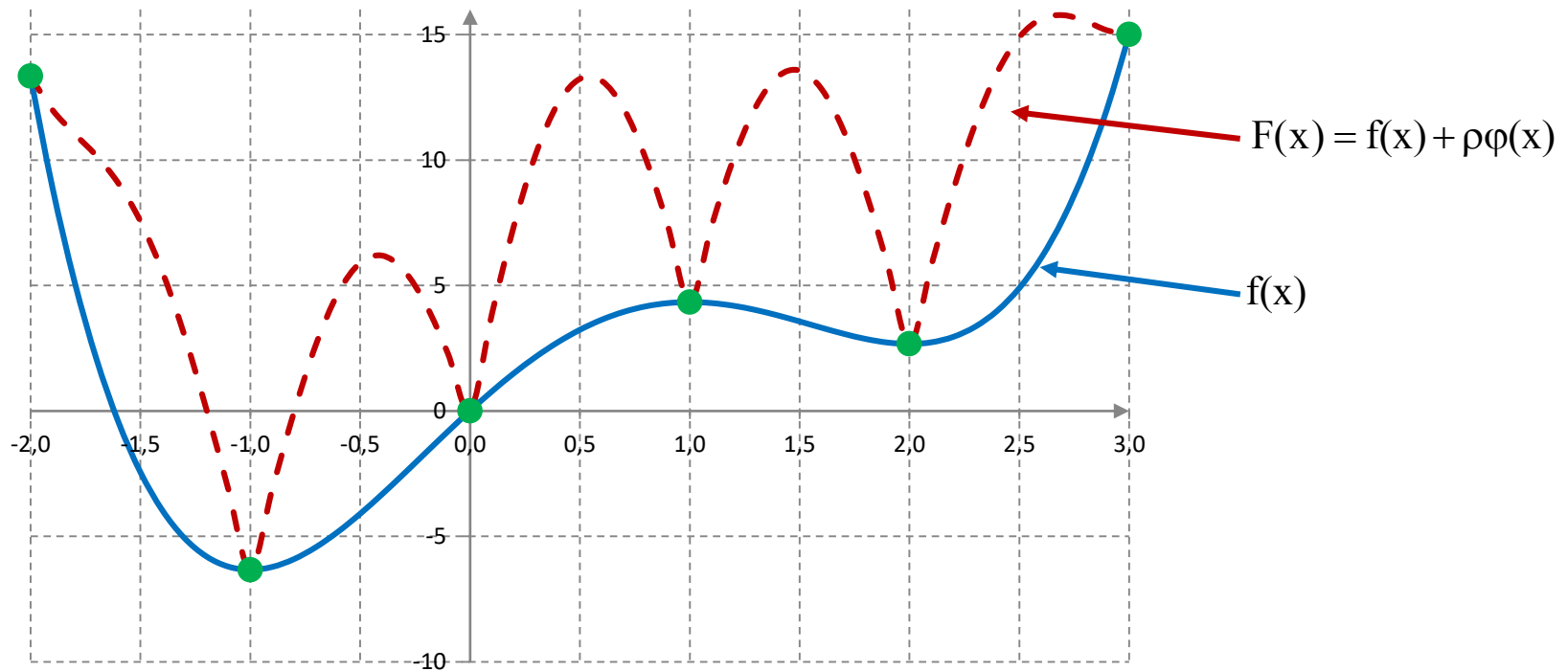
# Techniques d'optimisation

## 4.3.9 Variables discrètes

### Exemple

$$\min_x f(x) = x^4 - \frac{8}{3}x^3 - 2x^2 + 8x \quad \text{avec } x \in \{-1, 0, 1, 2\}$$

- Fonction pénalisée avec  $\varphi(x) = \sin\left(\pi \frac{x - d_j}{d_{j+1} - d_j}\right)$  et  $\rho = 10$



## 4.3.9 Minima locaux

### Méthode de dilatation

$\min_x f(x)$  → problème à plusieurs minima locaux

- On suppose qu'un premier minimum local a été trouvé en  $x=x_m$  →  $f(x_m) = f_m$

- On définit la fonction dilatée  $F$  : 
$$F(x) = \begin{cases} f(x) + c_1 \|x - x_m\| + \frac{c_2}{\|f(x) - f_m\|} & \text{si } f(x) > f_m \\ f(x) & \text{si } f(x) \leq f_m \end{cases}$$

Le terme en  $c_1$  remonte les minima locaux supérieurs à  $f_m$  sans modifier le voisinage de  $x_m$ .

Le terme en  $c_2$  remonte la fonction au voisinage de  $x_m$ .

Les minima inférieurs à  $f_m$  ne sont pas modifiés.

- Le réglage des coefficients  $c_1$  et  $c_2$  permet de pénaliser les régions où  $f(x) > f_m$   
 et de favoriser l'exploration des minima restants.
- L'algorithme est redémarré sur la fonction dilatée  $F$ .  
 Les dilatations successives éliminent les minima locaux et isolent le minimum global.

# Techniques d'optimisation

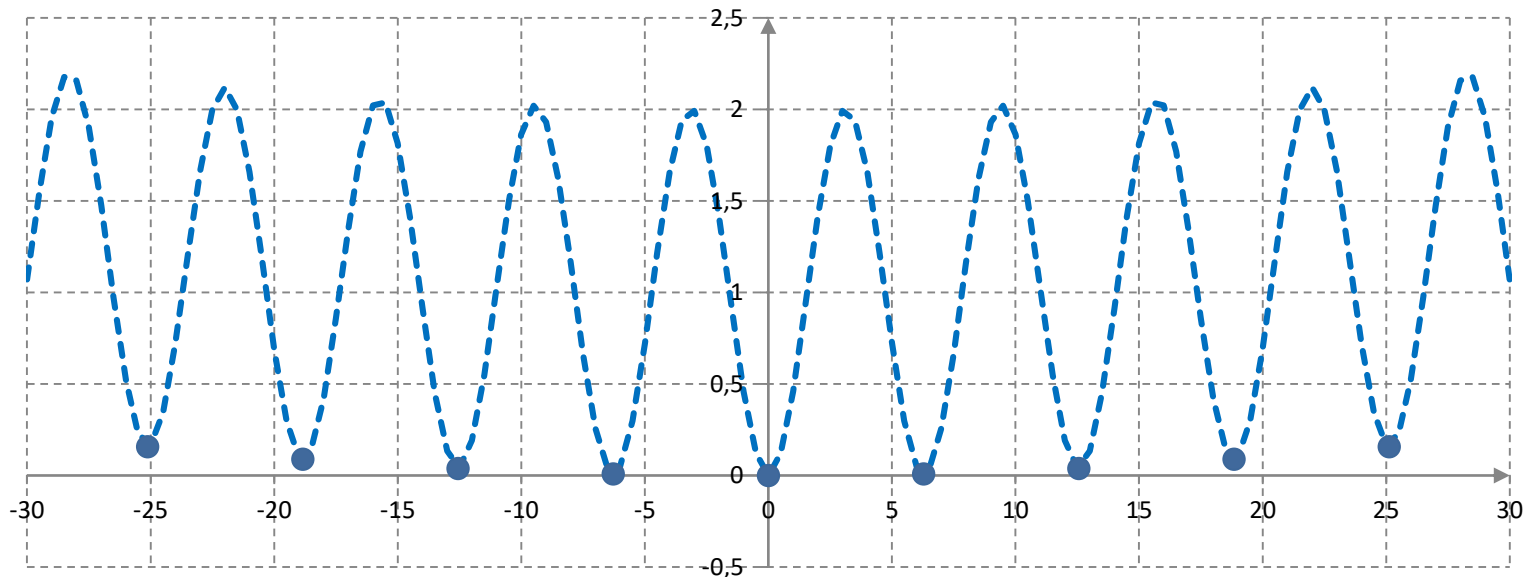
## 4.3.9 Minima locaux

### Exemple

Fonction de Griewank à une variable  $f(x) = \frac{x^2}{4000} - \cos(x) + 1$

Minima locaux :  $\sin(x) + \frac{x}{2000} = 0 \rightarrow$  proche de  $k \cdot 2\pi$  lorsque  $|x| \ll 2000$

$x_m$	-25,12	-18,84	-12,56	-6,28	0,00	6,28	12,56	18,84	25,12
$f_m$	1,578	0,887	0,394	0,098	0,0000	0,0986	0,3946	0,8878	1,578





# Techniques d'optimisation

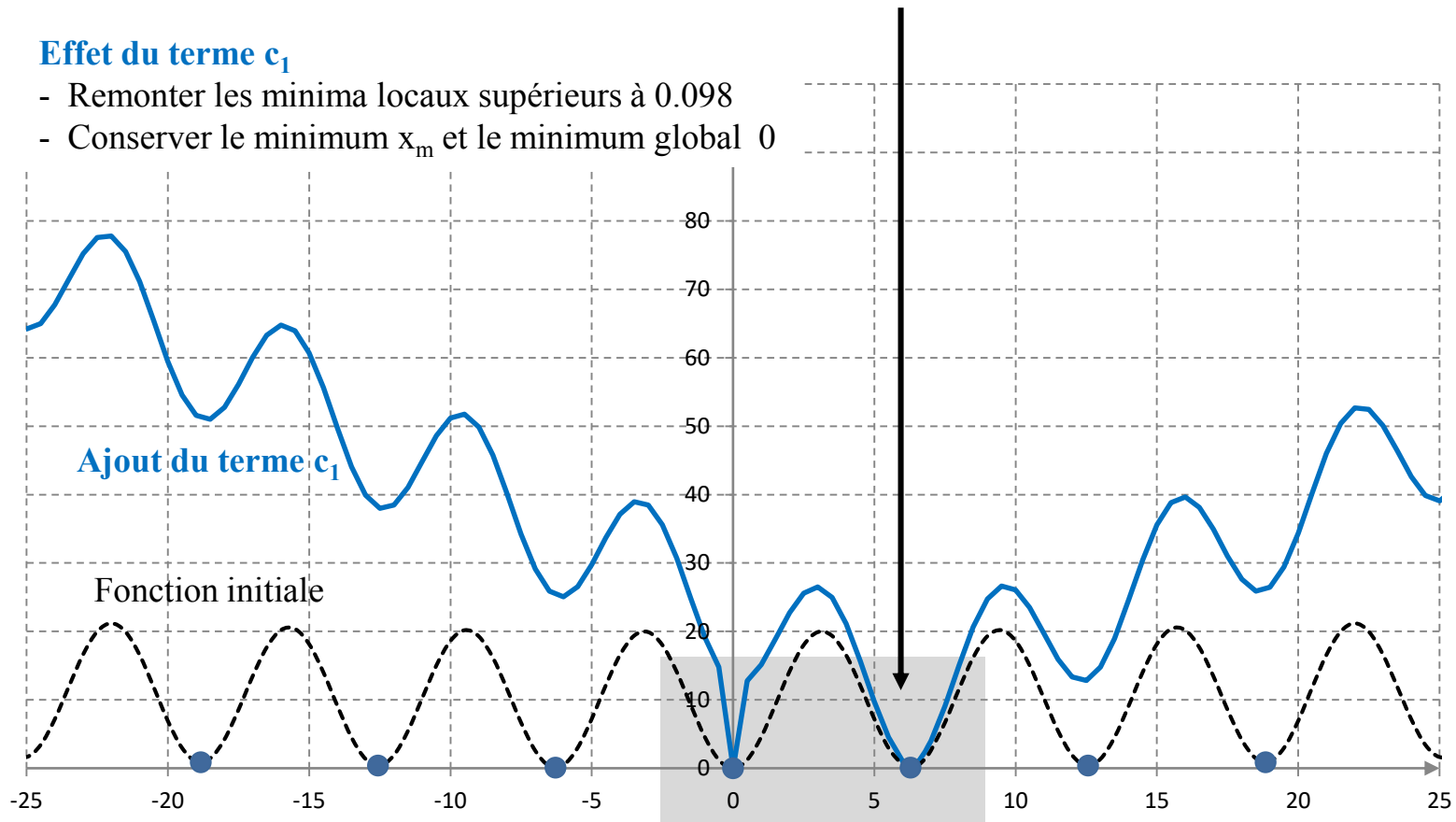
## 4.3.9 Minima locaux

### Exemple

Fonction dilatée autour du minimum local  $x_m = 6.28$  ,  $f_m = 0.098$

#### Effet du terme $c_1$

- Remonter les minima locaux supérieurs à 0.098
- Conserver le minimum  $x_m$  et le minimum global 0

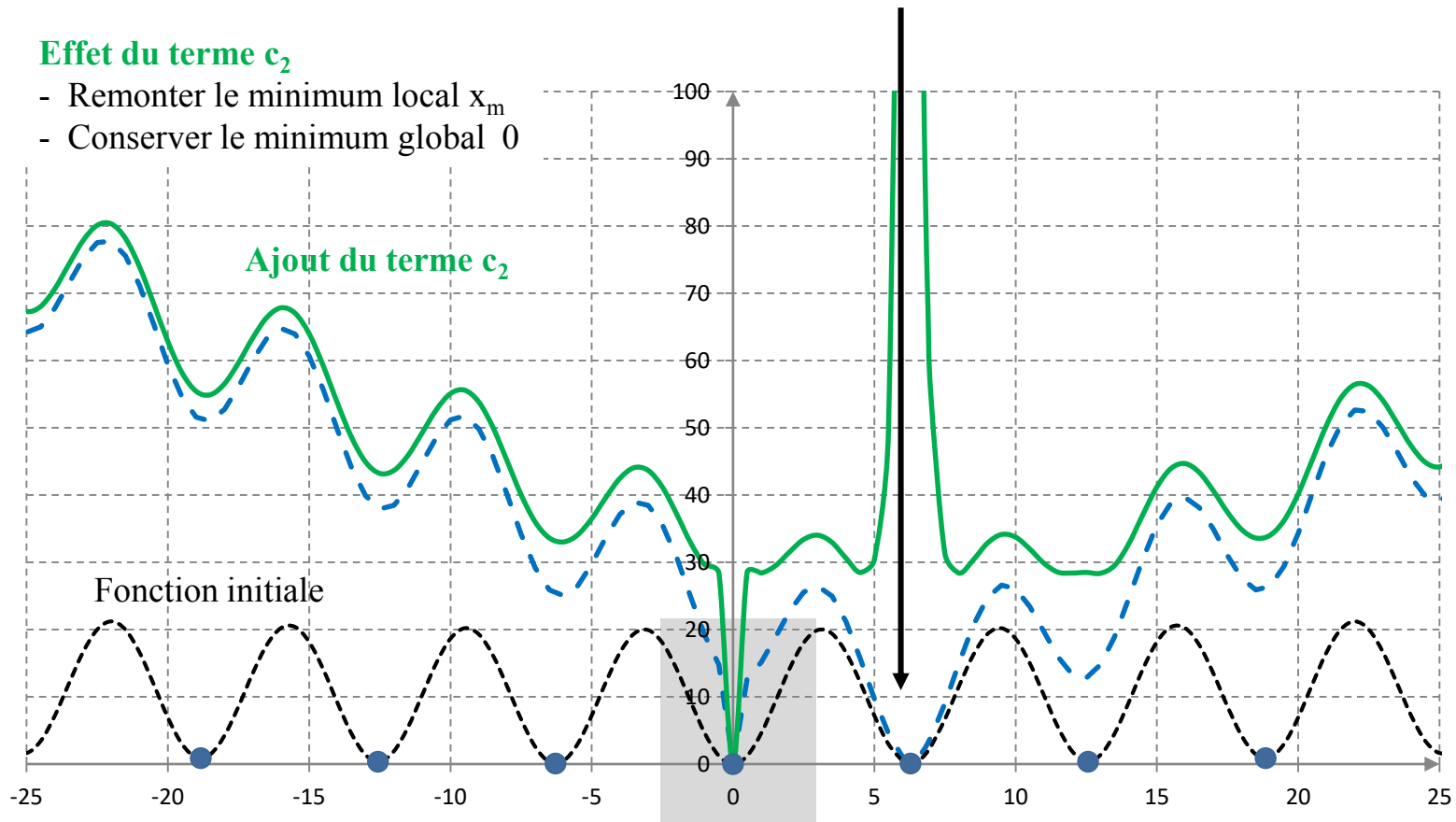


# Techniques d'optimisation

## 4.3.9 Minima locaux

### Exemple

Fonction dilatée autour du minimum local  $x_m = 6.28$  ,  $f_m = 0.098$



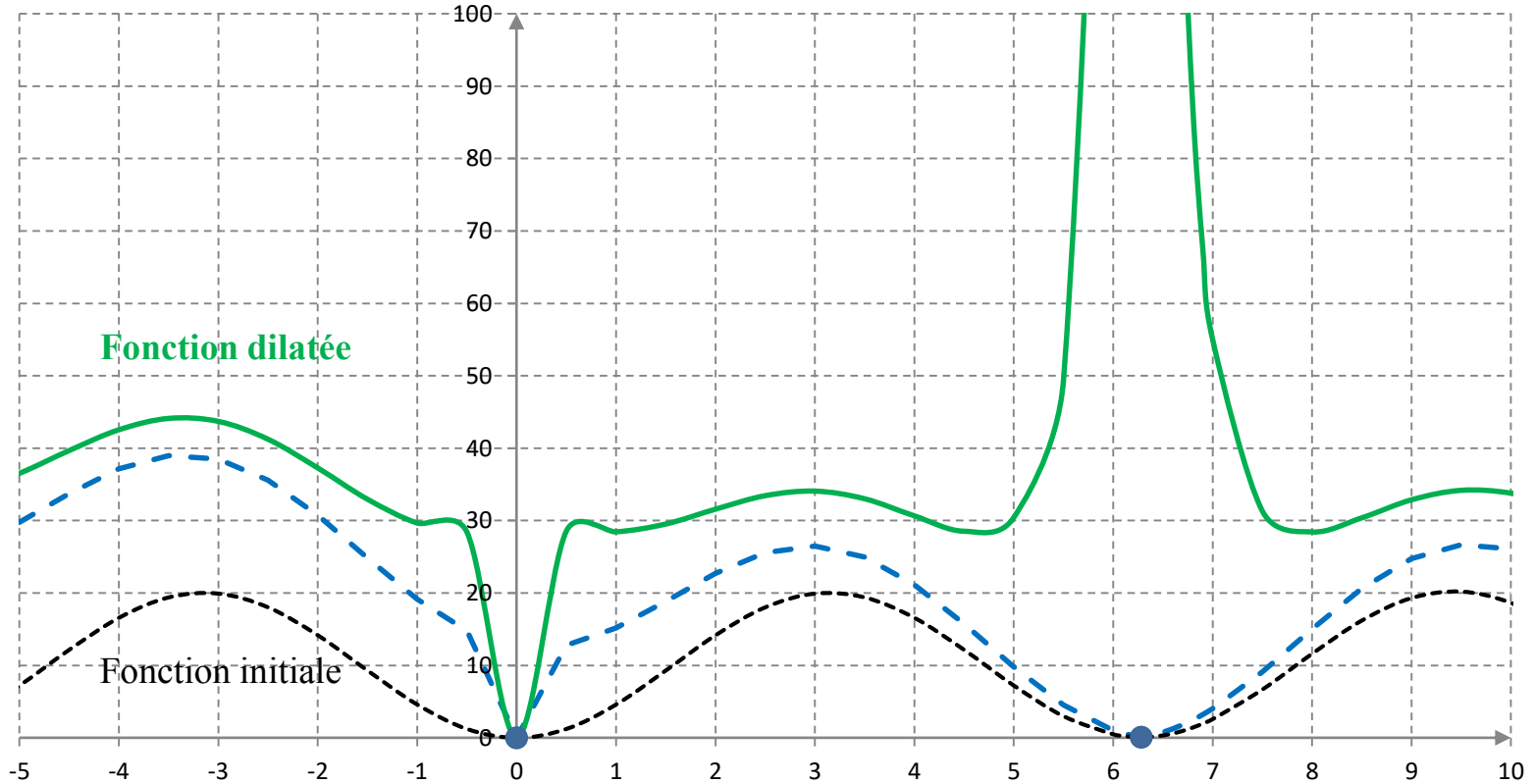
# Techniques d'optimisation

## 4.3.9 Minima locaux

### Exemple

Fonction dilatée autour du minimum local  $x_m = 6.28$  ,  $f_m = 0.098$

Il ne reste que le minimum global en 0 (= seul minimum inférieur à  $f_m$ ).



# Techniques d'optimisation

## 4.3.9 Minima locaux

### Fonction signe

- La fonction dilatée F est de la forme :  $F(x) = \begin{cases} f(x) + g(x) & \text{si } c(x) \geq 0 \\ f(x) & \text{sin on} \end{cases}$

En utilisant la fonction signe :  $F(x) = f(x) + \frac{1}{2} \operatorname{sgn}[c(x) + 1]g(x)$

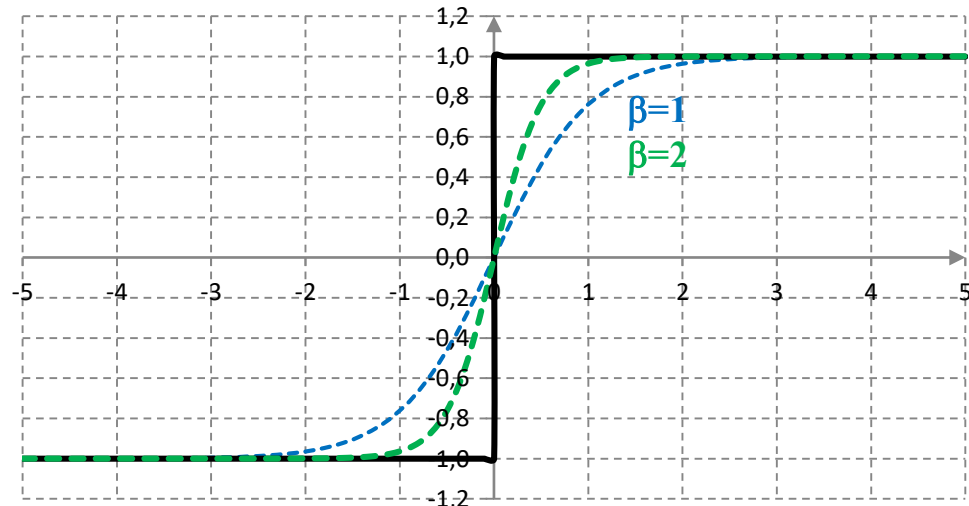
- La condition sur le signe de c(x) crée des discontinuités. Selon l'algorithme utilisé, il peut être préférable de garder une fonction continue.
- On peut approcher la fonction signe par une fonction continue. (fonction sigmoïde).

$$\operatorname{sgn}(y) \approx \frac{2}{1 + e^{-\alpha y}} - 1$$

ou

$$\operatorname{sgn}(y) \approx \tanh(\beta y) = \frac{e^{\beta y} - e^{-\beta y}}{e^{\beta y} + e^{-\beta y}}$$

avec  $\alpha, \beta$  positifs assez grands



# Techniques d'optimisation

## 4.3.9 Fonctions tests

### Exemples

- Fonction de Griewank

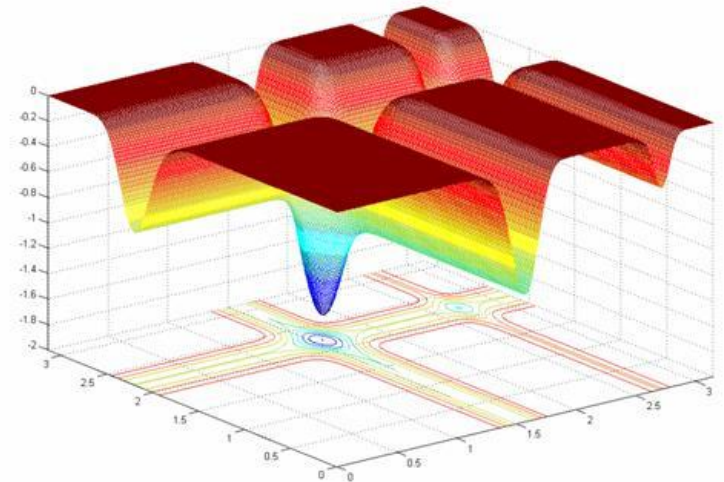
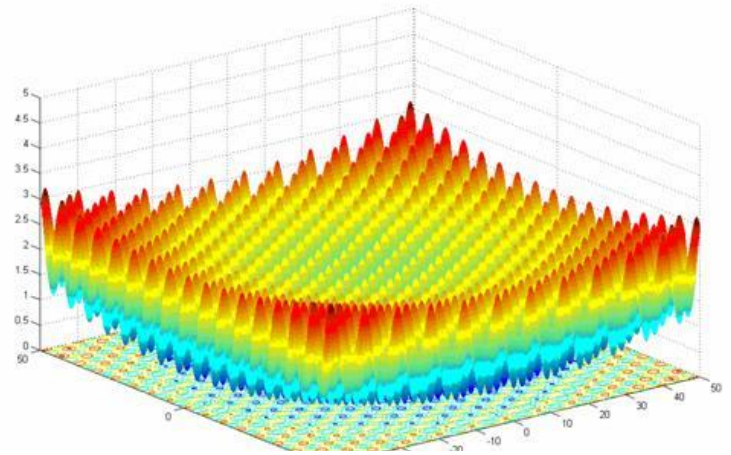
$$f(\mathbf{x}) = \sum_{i=1}^d \frac{x_i^2}{4000} - \prod_{i=1}^d \cos\left(\frac{x_i}{\sqrt{i}}\right) + 1$$

Minimum global unique  
 $\mathbf{x} = 0$

- Fonction de Michalewicz

$$f(\mathbf{x}) = - \sum_{i=1}^d \sin(x_i) \sin^{2m}\left(\frac{ix_i^2}{\pi}\right)$$

Minimum global unique  
 $\mathbf{x} = (2.20, 1.57)$  en dimension  $d=2$



# Techniques d'optimisation

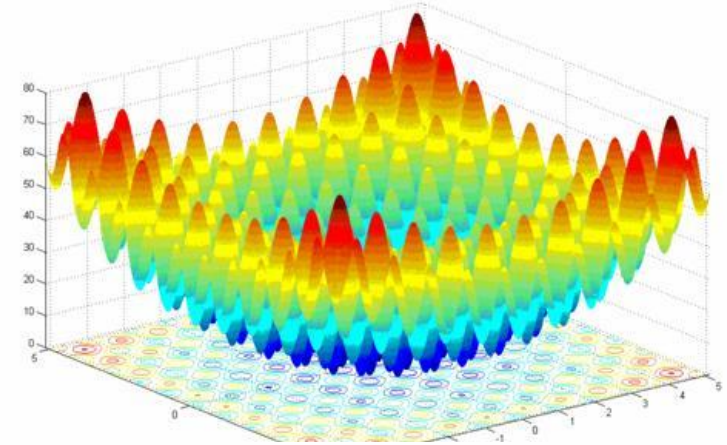
## 4.3.9 Fonctions tests

### Exemples

- Fonction de Rastrigin

$$f(\mathbf{x}) = 10d + \sum_{i=1}^d [x_i^2 - 10 \cos(2\pi x_i)]$$

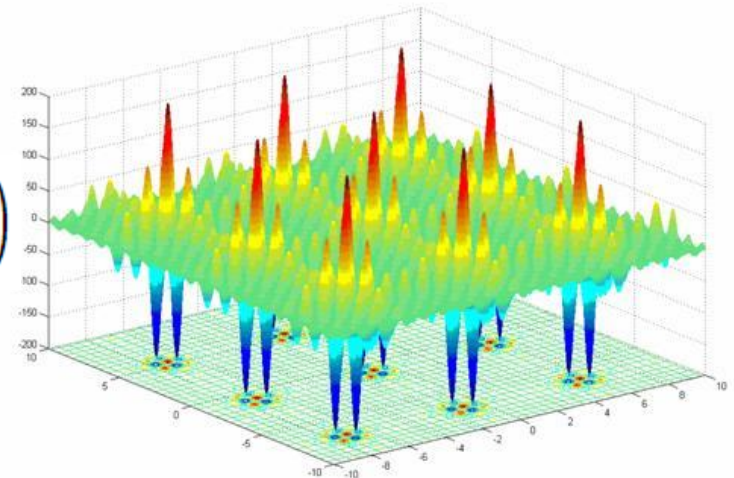
Minimum global unique  
 $\mathbf{x} = 0$



- Fonction de Schubert

$$f(\mathbf{x}) = \left( \sum_{i=1}^5 i \cos((i+1)x_1 + i) \right) \left( \sum_{i=1}^5 i \cos((i+1)x_2 + i) \right)$$

18 minima globaux  
 $f(\mathbf{x}^*) = -186.7309$



## Résumé : optimisation discrète

### Méthodes exactes

- Algorithmes spécifiques :
  - chemin (§4.1.2)
  - flot (§4.1.3)
  - affectation (§4.1.4)
- Programmation linéaire :
  - techniques de formulation (§4.2.1)
  - séparation et évaluation (§4.2.3)

### Méthodes approchées

- Métaheuristiques :
  - recuit simulé (§4.3.2)
  - essaims (§4.3.4)
  - algorithmes évolutionnaires (§4.3.6)
- Applications :
  - minima locaux , minimum global
  - front de Pareto (optimisation multi-objectifs)

### Difficultés pratiques

- Combinatoire exponentielle
- Minima locaux
- Pas de conditions d'optimalité

## Bibliographie : optimisation discrète

### Livres en français

- **Programmation mathématique** (M. Minoux)
  - **Métaheuristiques pour l'optimisation difficile** (J. Dréo, A. Pétrowski, P. Siarry, E. Taillard)
  - **Optimisation discrète** (A. Billionnet)
  - Algorithmes de graphes (P. Lacomme, C. Prins, M. Sevaux)
  - Programmation linéaire (C. Guéret, C. Prins, M. Sevaux)
  - Précis de recherche opérationnelle (R. Faure, B. Lemaire, C. Picouleau)
- 

### Livres en anglais

- **Stochastic optimization** (J.J. Schneider, S. Kirkpatrick)
- Integer and combinatorial optimization (L.A. Wolsey, G.L. Nemhauser)
- Heuristic search (S. Edelkamp, S. Schrödl)